

БИЛЕТ 4

1) Работа электростатического поля при перемещении зарядов. Потенциал электростатического поля. Связь напряженности и потенциала. Уравнение Пуассона. Работа при перемещении Q_0 из точки 1 в точку 2:

$$A_{12} = \int_1^2 dA = \frac{QQ_0}{4\pi\epsilon_0} \int_1^2 \frac{dr}{r^2} = \frac{1}{4\pi\epsilon_0} \left(\frac{QQ_0}{r_1} - \frac{QQ_0}{r_2} \right)$$

не зависит от траектории перемещения. Следовательно эл.стат. поле точечного заряда является потенциальным, а э.стат. силы - консервативными.

Потенциал поля.

Потенциальная энергия заряда Q_0 в поле заряда Q на расстоянии r :

$$U = \frac{1}{4\pi\epsilon_0} \frac{QQ_0}{r}$$

Если поле создано системой точечных зарядов, то энергия

$$U = \sum_{i=1}^n U_i = Q_0 \sum_{i=1}^n \frac{Q_i}{4\pi\epsilon_0 r_i}$$

заряда Q_0 равна сумме его потенциальных энергий, создаваемых каждым зарядом в отдельности.

Потенциал в какой-либо точке эл.стат. поля есть физическая величина, определяемая потенциальной энергией положительного заряда, помещенного в эту точку.

$$\phi = \frac{1}{4\pi\epsilon_0} \frac{Q}{r}$$

Разность потенциалов двух точек равна работе при перемещении единичного положительного заряда из точки 1 в точку 2:

$$\phi_1 - \phi_2 = \int_1^2 E \cdot dl$$

Связь напряженности и потенциала.

Работа по перемещению единичного положительного заряда вдоль оси X равна

$$\text{при } \Delta x = x_1 - x_2 \quad \int_{x_1}^{x_2} E \cdot dx = \phi_2 - \phi_1 = -d\phi \Rightarrow E = -\frac{\partial \phi}{\partial x}$$

$$E = -\left(\frac{\partial \phi}{\partial x} i + \frac{\partial \phi}{\partial y} j + \frac{\partial \phi}{\partial z} k \right) \Rightarrow E = -\text{grad } \phi$$

Эквипотенциальная поверхность - поверхность во всех точках которой потенциал имеет одно и то же значение.

Уравнение Пуассона.

$$\nabla^2 \phi = -\rho/\epsilon_0, \text{ где } \nabla^2 = \text{div}(\text{grad } \phi) - \text{скаляр.}$$

2) Электромagnetная индукция. Закон Фарадея. Правило Ленца. Самоиндукция. Взаимная индукция. Энергия и плотность энергии магнитного поля. ЭМ индукция - явление возникновения электродвижущей силы в замкнутом проводящем контуре при изменении магнитного потока, охватываемого этим контуром.

Закон Фарадея

Сила ЭДС определяется скоростью изменения магнитного потока:

$$\epsilon_{\text{ст}} = -\frac{d}{dt} \int_S (\vec{B} \cdot d\vec{S})$$

Правило Ленца: индукционный ток направлен так, чтобы создаваемый им магнитное поле компенсировало изменение магнитного потока.

Из интегральной формы закона электромагнитной индукции (закона Фарадея)

$$\oint (\vec{E}_{\text{ст}} \cdot d\vec{l}) = -\frac{d}{dt} \int_S (\vec{B} \cdot d\vec{S})$$

с помощью теоремы Стокса $\oint (\vec{E}_{\text{ст}} \cdot d\vec{l}) = \iint_S (\text{rot}(\vec{E}_{\text{ст}}) \cdot d\vec{S})$ можно получить дифференциальную формулу

$$\text{rot}(\vec{E}_{\text{ст}}) = -\frac{\partial \vec{B}}{\partial t}$$

При изменении во времени индукции магнитного поля в данной точке пространства, в окрестности этой точки появляется поле сторонних сил, ротор векторов которого пропорционален скорости изменения вектора магнитной индукции.

При изменении силы тока I в контуре будет изменяться и магнитный поток через площадку контура Φ , поэтому в контуре появится индукционный ток, направление которого определяется правилом Ленца. Это явление называется **самоиндукцией**.

$\epsilon_{\text{ст}} = -L \frac{dI}{dt}$, где L - индуктивность - коэффициент пропорциональности L электростатической силой I , определяется формулой $W_{\text{м}} = \frac{L I^2}{2}$. Индуктивность катушки $L = \mu \mu_0 \frac{N^2}{l} S$, индукция магнитного поля в катушке $B = \mu \mu_0 \frac{N I}{l}$, напряженность магнитного поля $H = \frac{N I}{l}$. Тогда $W_{\text{м}} = \frac{1}{2} V B H$

Объемная плотность энергии $w = \frac{W_{\text{м}}}{V} = \frac{B H}{2}$

Явление возникновения ЭДС в одном из контуров при изменении силы тока в другом называется взаимной индукцией. Рассмотрим два неподвижных контура (1 и 2), расположенных достаточно близко друг от друга. Обозначим через Φ_{12} ту часть потока, которая пронизывает контур 2. Если ток I_1 изменяется, то в контуре 2 индуцируется ЭДС ϵ_{12} , которая по закону Фарадея равна и противоположна по знаку скорости изменения магнитного потока Φ_{21} , созданного током в первом контуре и пронизывающего второй: $\epsilon_{12} = -L_{12} \frac{dI_1}{dt}$

3) Длинный цилиндр радиусом $R = 4 \text{ см}$ из диэлектрика ($\epsilon = 4$) заряжен по объему с постоянной объемной плотностью $\rho = 2 \cdot 10^{-6} \text{ Кл/м}^3$. Найдите энергию поля, локализованного внутри цилиндра, приходящуюся на единицу его длины.

Решение:

$$\begin{aligned} R &= 0,04 \text{ м} \\ \epsilon &= 4 \\ \rho &= 2 \cdot 10^{-6} \text{ Кл/м}^3 \\ E &= \frac{\rho r}{\epsilon} \\ \oint \vec{E} \cdot d\vec{l} &= \oint \frac{\rho r}{\epsilon} dr = \frac{\rho}{\epsilon} \int_0^R r dr = \frac{\rho R^2}{2\epsilon} \\ U &= \int \frac{\rho^2}{2\epsilon} dV = \frac{\rho^2}{2\epsilon} \int_0^R \pi r^2 dr = \frac{\rho^2 \pi R^3}{6\epsilon} \\ W &= \int U dl = \frac{\rho^2 \pi R^3}{6\epsilon} l \end{aligned}$$

4) Какой разностью потенциалов надо усилить протон, чтобы его энергия оказалась достаточной для преодоления поверхности ядра железа? Заряд ядра железа в 26 раз больше заряда протона (e), а его радиус равен $R = 4,0 \cdot 10^{-15} \text{ м}$. Считайте ядро однородно заряженным шаром.

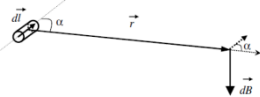
Решение:

$$\begin{aligned} 1) W &= \frac{1}{4\pi\epsilon_0} \cdot \frac{q_1 q_2}{R} \\ 2) qH &= W \text{ закон сохранения энергии} \\ BH &= \frac{1}{4\pi\epsilon_0} \cdot \frac{2 \cdot 26e^2}{R} \\ \Rightarrow U &= \frac{26e^2}{4\pi\epsilon_0 \cdot R} = \frac{26 \cdot 1,6 \cdot 10^{-19}}{4 \cdot 3,14 \cdot 8,85 \cdot 10^{-12} \cdot 4 \cdot 10^{-16}} \\ &= 935,476,9 \text{ В} \approx 9,4 \text{ МВ} \end{aligned}$$

БИЛЕТ 5

1) Вектор индукции магнитного поля. Закон Био-Савара-Лапласа. Принцип суперпозиции магнитных полей. Теорема о циркуляции вектора индукции магнитного поля и интегральной и дифференциальной формах.

Магнитное поле характеризуется вектором магнитной индукции \vec{B} . Величина индукции измеряется в Теслах. Словной линией магнитного поля называется линия в пространстве, касательная к которой в каждой точке направлена как вектор \vec{B} . Закон Био-Савара: Закон Био-Савара-Лапласа определяет величину вектора магнитной индукции в точке, выбранной произвольно находящейся в магнитном поле. Поле при этом создано постоянным током на некотором участке. Формулировка закона Био-Савара-Лапласа имеет вид: При пропускании постоянного тока по замкнутому контуру, находящемуся в вакууме, для точки, отстоящей на расстоянии r_0 от контура магнитная индукция будет иметь вид: $d\vec{B} = \frac{\mu_0 I (d\vec{l} \times \vec{r})}{4\pi r^3}$. Величина вектора: $d\vec{B} = \frac{\mu_0 I}{4\pi} \frac{d\vec{l} \times \vec{r}}{r^3} \sin \alpha$, где $d\vec{l}$ - Вектор, по модулю равный длине $d\vec{l}$ элемента проводника и совпадающий по направлению с током; r - Расстояние от провода до точки, где мы вычисляем магнитную индукцию.



Для магнитного поля, как и для электрического, справедливы принцип суперпозиции: магнитная индукция результирующего поля, создаваемого несколькими токами или движущимися зарядами, равна векторной сумме магнитных индукций складываемых полей, создаваемых каждым током или движущимися зарядами в отдельности:

$$\vec{B} = \sum_{i=1}^n \vec{B}_i$$

Теорема о циркуляции:

Циркуляция вектора индукции магнитного поля по любому ориентированному замкнутому контуру пропорциональна алгебраической сумме токов, пронизывающих ориентированную площадку, ограниченную контуром. Ориентация контура и площадки согласованы правилом правой руки. Коэф-т пропорциональности - магнитная постоянная.

$$\oint (\vec{B} \cdot d\vec{l}) = \mu_0 \sum I_k$$

Теорема о циркуляции в интегральной форме: $\oint (\vec{B} \cdot d\vec{l}) = \iint_S (\text{rot}(\vec{B}) \cdot d\vec{S}) = \mu_0 \iint_S (\vec{j} \cdot d\vec{S})$

В дифференциальной форме: $\text{rot}(\vec{B}) = \mu_0 \vec{j}$

2) Принцип Гюйгенса-Френеля. Метод зон Френеля. Дифракция на круглом отверстии и круглом диске.

Дифракция - это явление отклонения света от прямолинейного прохождения, если оно не может быть следствием отражения, преломления или изгибания световых лучей, вызванным пространственным изменением показателя преломления. При этом отклонение от закона геометрической оптики тем меньше, чем меньше длина волны света.

• **Принцип Гюйгенса-Френеля**

следует рассматривать как рецет приближенного решения дифракционных задач. В основе его лежит допущение о том, что каждый элемент поверхности волнового фронта можно рассматривать как источник вторичных волн, распространяющихся во всех направлениях. Эти волны когерентны, так как они возбуждены одной и той же первичной волной. Результирующее поле в точке наблюдения P может быть найдено как результат интерференции вторичных волн. В качестве поверхности вторичных источников может быть выбрана не только поверхность волнового фронта, но и любая другая замкнутая поверхность. При этом фазы и амплитуды вторичных волн определяются значениями фазы и амплитуды первичной волны.

• **Метод зон Френеля.**

Френель предложил мысленно разбить волни фронт в месте расположения преграды на колеблющиеся зоны или полусферы-зоны в случае дифракции от щели. Размеры зон выбирают таким образом, чтобы расстояния от краев соседних зон до точки M отличались на $\lambda/2$. Если в отверстии ДД укладывается четное число зон ($n=2k$), то в точке M наблюдается интерференционный минимум. Когда n - нечетное, то в точке M - светлый (интерференционный максимум), т.к. одна зона остается негашенной ($n=2k+1$).

• **Дифракция Френеля на круглом отверстии:**

часть волновой поверхности Φ на зоны Френеля. Вид дифракционной картины будет зависеть от количества зон Френеля, укладываемых в отверстие. Амплитуда результирующего колебания в точке B равна: $A = A_0/2$. Т.к. слабое в соседних равно 0, то $A = A_0/2$. Следовательно, в точке B всегда будет светлое пятно, окруженное concentрическими светлыми и темными кольцами, а интенсивность убывает с расстоянием от центров картины.

• **Дифракция Френеля на диске**

Пусть диск закрывает n первых зон Френеля. Тогда амплитуда результирующего колебания в точке B равна: $A = A_0/4$. Т.к. слабое в соседних равно 0, то $A = A_0/4$. Следовательно, в точке B всегда будет светлое пятно, окруженное concentрическими светлыми и темными кольцами, а интенсивность убывает с расстоянием от центров картины.

3) Определите энергию протона, который движется в однородном магнитном поле с индукцией B по винтовой линии радиусом R в широм направлении A .

Разложим скорость протона \vec{v} на две составляющие: \vec{v}_\parallel , направленную вдоль поля, и \vec{v}_\perp , направленную перпендикулярно к полю. Проекции траектории электрона на плоскость, перпендикулярную к индукции \vec{B} , представляет собой окружность, радиус которой определяется формулой $R = \frac{mv_\perp}{eB}$ (см. задачу 11.69). Отсюда

$$v_\perp = \frac{eBR}{m \sin \alpha}$$

Кинетическая энергия протона $W = \frac{mv^2}{2}$.

Подставляя выражение для v_\perp , получим $W = \frac{e^2 B^2 R^2}{2m \sin^2 \alpha}$.

Подставляя численные данные, получим $W = 6,9 \cdot 10^{-11} \text{ Дж}$ или $W = 431 \text{ эВ}$.

4) Четыре равных точечных заряда Q расположены в вершинах квадрата со стороной a . а) Чему равен электрический заряд системы? б) Какова потенциальная энергия будет иметь пятый заряд Q , помещенный в центре квадрата (относительно $\phi = 0$ на бесконечности).

Решение:

$$\begin{aligned} 1) W &= \frac{1}{4\pi\epsilon_0} \cdot \frac{q_1 q_2}{R} \\ 2) qH &= W \text{ закон сохранения энергии} \\ BH &= \frac{1}{4\pi\epsilon_0} \cdot \frac{2 \cdot 26e^2}{R} \\ \Rightarrow U &= \frac{26e^2}{4\pi\epsilon_0 \cdot R} = \frac{26 \cdot 1,6 \cdot 10^{-19}}{4 \cdot 3,14 \cdot 8,85 \cdot 10^{-12} \cdot 4 \cdot 10^{-16}} \\ &= 935,476,9 \text{ В} \approx 9,4 \text{ МВ} \end{aligned}$$

БИЛЕТ 6

1) Электростатический заряд. Закон Кулона. Напряженность электростатического поля. Принцип суперпозиции.

Электростатический заряд. Наряду с массой, одним из свойств частицы вещества является электрический заряд. Различают два вида электрического заряда: положительный и отрицательный. О наличии заряда у тела судят по его взаимодействию с другими заряженными частями. При этом одновременно заряженные тела отталкиваются, разноименные притягиваются. **Закон Кулона:** Закон Кулона определяет величину электрического заряда электрона или ядра атома водорода-протона. В СИ величина элементарного заряда равна $e = 1,6 \cdot 10^{-19} \text{ Кл}$. Любой электрический заряд кратен элементарному заряду. Электрические заряды могут появляться или исчезать только парами. Отсюда следует: **закон сохранения электрического заряда** - сумма зарядов в замкнутой (изолированной) системе остается постоянной.

Логическим завершением закона Кулона наз-ся заряженное тело, размерами которого в условиях данной задачи можно пренебречь.

Закон Кулона. Опыт показывает, что взаимодействие точечных зарядов определяется законом Кулона: $F = k \frac{q_1 q_2}{r^2}$, где $k = \frac{1}{4\pi\epsilon_0}$ - постоянный коэффициент.

Два точечных неподвижных заряда, находящихся на расстоянии R друг от друга взаимодействуют друг с другом с силой, величина которой пропорциональна произведению величин зарядов и обратно пропорциональна квадрату расстояния между ними.

Для закона Кулона справедливо утверждение: вектор сил, действующий на точечный заряд со стороны остальных зарядов равен векторной сумме сил, действующих со стороны каждого заряда в отдельности $\vec{F} = \sum \vec{F}_i$.

Напряженность электростатического поля. По современным представлениям электрические заряды взаимодействуют посредством некоторой материальной субстанции, которая наз-ся электрическое поле и является одной из форм проявления электромагнитного поля.

Электрическое поле характеризуется **одной** характеристикой - **вектором напряженности**, который определяется как отношение вектора силы, действующей на точечный заряд q , помещенный в данную точку поля, к величине этого заряда $\vec{E} = \frac{\vec{F}}{q}$.

Величина напряженности измеряется $\frac{Н}{Кл}$ или $\frac{В}{м}$. Знак напряженности в данной точке можно найти силу, действующую на заряд $\vec{F} = q \cdot \vec{E}$. Отсюда видно, что на положительно заряженные частицы сила действует по направлению вектора напряженности электрического поля, а на отрицательно заряженные - против.

Правило: чтобы найти направление вектора напряженности электрического поля в данной точке, надо поместить в эту точку воображаемый заряд. Тогда вектор напряженности будет направлен так же как и вектор силы, действующей на заряд. **Принцип суперпозиции для электрического поля:** Вектор напряженности поля, создаваемого системой зарядов, равен векторной сумме напряженностей полей, создаваемых каждым из зарядов в отдельности: $\vec{E} = \sum \vec{E}_i$.

Это следует из того, что силы складываются как векторы $\vec{F} = \sum \vec{F}_i$, поэтому $\vec{E} = \frac{\vec{F}}{q} = \frac{\sum \vec{F}_i}{q} = \sum \frac{\vec{F}_i}{q} = \sum \vec{E}_i$.

2) Дифракция рентгеновских лучей. Формула Вульфа-Бреггов. Понятие о рентгеноструктурном анализе.

В природе в роли дифракционных решеток выступают вещества, имеющие кристаллическую структуру. Для таких веществ характерно упорядоченное расположение атомов или молекул в пространстве. При их облучении электромагнитными волнами последние испытывают явление дифракции на атомах или молекулах, в результате становится возможным наблюдать перераспределение интенсивности падающей волны. В кристаллах в роли щелей выступают атомы или молекулы, а период решетки определяется межатомным расстоянием d . Учитывая, что порядок величины $d \sim 10^{-10} \text{ м}$, для увеличения разрешенной способности и дисперсии дифр решетки расстояние между щелями $d < \lambda$ поэтому необходимо использовать электромагнитные волны с очень малой длиной волны. Для этой цели подходят электромагнитные волны рентгеновского диапазона с длиной волны $\lambda \sim 10^{-12}$. Изучение структуры кристаллических, а также полукристаллических веществ с помощью явления дифракции электромагнитных волн рентгеновского диапазона составляет сущность рентгеноструктурного анализа.

Формула Вульфа - Бреггов. Из этой формулы следует, что при известной длине волны и порядке наблюдения n дифракционного максимума расстояние между кристаллическими плоскостями d может быть найдено из формулы: $d = 0,5n\lambda/\sin \theta$

Рентгеноструктурный анализ

Спектральный состав излучения, т.е. измерение его длины волн, можно определить с помощью формулы Вульфа-Бреггов.

Метод Лауэ, в котором узкий пучок рентгеновского излучения направляется на исследуемый монокристалл. В результате на помещенной к кристаллу фотопленке получается система пятен-максимумов. А на расстоянии между максимумами и их интенсивности можно расшифровать структуру данного кристалла.

Метод Дебая-Штерера используется узкий пучок моно-хот рентгеновского изл. и образует в виде поликристалла. Исследуемый кристалл предельно измельчают в порошок, из него пресуется образец в виде стерженка.

Рентгенограмма образца, полученная по этому методу - дебайграмма - имеет вид системы concentрических колец. Ее расшифровка также позволяет определить структуру кристалла.

3) На длинный соленоид, имеющий диаметр сечения $d = 5 \text{ см}$ и совершающий $n = 20$ витков на 1 см длины, плотно надет круговой виток из медного провода сечением $S = 1,0 \text{ мм}^2$. Найдите ток в витке, если ток в обмотке соленоида увеличивается с постоянной скоростью $I = 100 \text{ А/с}$. Магнитное поле медного дифракционного тока пренебречь. Удельное сопротивление меди $\rho = 16 \text{ Ом/м}$.

Задача

На длинный прямой соленоид, внутренний диаметр сечения $d = 5 \text{ см}$ и содержащий $n = 20$ витков на 1 см длины, плотно надет круговой виток из медного провода сечением $S = 1 \text{ мм}^2$. Найдите ток в витке, если ток в обмотке соленоида увеличивается с постоянной скоростью $I = 100 \text{ А/с}$. Магнитное поле медного дифракционного тока пренебречь. Удельное сопротивление меди $\rho = 16 \text{ Ом/м}$.

Решение:

Магнитное в центре длинного соленоида:

$$B = \mu_0 n I$$

$$d = 5 \cdot 10^{-2} \text{ м}$$

$$n = \frac{20}{1 \cdot 10^{-2}} = 2000$$

$$S = 1 \cdot 10^{-6} \text{ м}^2$$

$$I = 100 \text{ А/с}$$

$$\rho = 1,6 \cdot 10^{-8} \text{ Ом/м}$$

$$I = ?$$

$$I = ?$$

$$I = ?$$

$$I = ?$$

$$I = ?$$

$$I = ?$$

$$I = ?$$

$$I = ?$$

$$I = ?$$

$$I = ?$$

$$I = ?$$

$$I = ?$$

$$I = ?$$

$$I = ?$$

$$I = ?$$

$$I = ?$$

$$I = ?$$

$$I = ?$$

$$I = ?$$

$$I = ?$$

$$I = ?$$

$$I = ?$$

$$I = ?$$

$$I = ?$$

$$I = ?$$

$$I = ?$$

$$I = ?$$

$$I = ?$$

$$I = ?$$

$$I = ?$$

$$I = ?$$

$$I = ?$$

$$I = ?$$

$$I = ?$$

$$I = ?$$

$$I = ?$$

$$I = ?$$

$$I = ?$$

$$I = ?$$

$$I = ?$$

$$I = ?$$

$$I = ?$$

$$I = ?$$

$$I = ?$$

$$I = ?$$

$$I = ?$$

БЛЕТ 7

1) Вектор индукции магнитного поля. Закон Био-Савара-Лапласа. Принцип суперпозиции магнитных полей. Теорема о циркуляции вектора индукции магнитного поля в интегральной и дифференциальной формах.

Магнитное поле характеризуется вектором магнитной индукции \vec{B} . Величина индукции измеряется в Теслах. Силовой линией магнитного поля называется линия в пространстве, касательная к которой в каждой точке направлена как вектор \vec{B} .

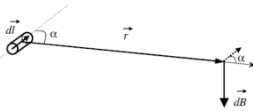
Закон Био-Савара: Закон Био-Савара-Лапласа определяет величину модуля вектора магнитной индукции в точке, выбранной произвольно находящейся в магнитном поле. Поле при этом создано постоянным током на некотором участке.

Формулировка закона Био-Савара-Лапласа имеет вид: При прохождении единичного тока по замкнутой контуру, находящейся в вакууме, для точки, отстоящей на расстоянии r_0 от контура магнитная индукция будет иметь вид.

$d\vec{B} = \frac{\mu_0 I d\vec{l} \times \vec{r}}{4\pi r^3}$, Величина вектора: $d\vec{B} = \frac{\mu_0 I d\vec{l} \times \vec{r}}{4\pi r^3}$, где

$d\vec{l}$ — Вектор, по модулю равный длине dl элемента проводника и совпадающий по направлению с током;

r — Расстояние от провода до точки, где мы вычислим магнитную индукцию.



Для магнитного поля, как и для электрического, справедлив принцип суперпозиции: магнитная индукция результирующего поля, создаваемого несколькими токами или движущимися зарядами, равна векторной сумме магнитных индукций складываемых полей, создаваемых каждым током или движущимся зарядом в отдельности:

$$\vec{B} = \sum_{i=1}^n \vec{B}_i$$

Теорема о циркуляции:

Циркуляция вектора индукции магнитного поля по любому ориентированному замкнутому контуру пропорциональна алгебраической сумме токов, пронизывающих ориентированную площадь, ограниченную контуром. Ориентация контура и площади согласованы правилом правого винта. Коэф-т пропорциональности — магнитная постоянная.

$$\oint \vec{B} \cdot d\vec{l} = \mu_0 \sum I_k$$

Теорема о циркуляции в интегральной форме: $\oint \vec{B} \cdot d\vec{l} = \mu_0 \sum I_k$ (rot(\vec{B}), $d\vec{S}$) = $\mu_0 \iint (j, d\vec{S})$ В дифференциальной форме: rot(\vec{B})= $\mu_0 j$

2) Принцип Гюйгенса-Френеля. Метод зон Френеля. Дифракция на круглом отверстии и круглом диске.

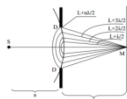
Дифракция - это явление отклонения света от прямолинейного прохождения, если оно не может быть следствием отражения, преломления или гнания световых лучей, вызванным пространственным изменением показателя преломления. При этом отклонение от законов геометрической оптики тем меньше, чем меньше длина волны света.

• Принцип Гюйгенса-Френеля

следует рассматривать как рецепт приближенного решения дифракционных задач. В основе его лежит допущение о том, что каждый элемент поверхности волнового фронта можно рассматривать как источник вторичных волн, распространяющихся во всех направлениях. Эти волны когерентны, так как они возбуждены одной и той же первичной волной. Результирующее поле в точке наблюдения Г может быть найдено как результат интерференции вторичных волн. В качестве поверхности вторичных источников может быть выбрана не только поверхность волнового фронта, но и любая другая замкнутая поверхность. При этом фазы и амплитуды вторичных волн определяются значениями фазы и амплитуды первичной волны.

• Метод зон Френеля.

Френель предложил мысленно разбить волн фронт в месте расположения преграды на кольцевые зоны или полюсы-зоны в случае дифракции от щели. Размеры зон выбирают таким образом, чтобы расстояния от краев соседних зон до точки М отличались на $\lambda/2$. Если в отверстии ДП укладывается четное число зон ($n=2k$), то в точке М наблюдается интерференционный минимум. Когда n нечетное, то в точке М — светлая (интерференционный максимум), т.к. одна зона остается неташенной ($n=2k+1$).



Дифракция Френеля на круглом отверстии:



• часть волновой поверхности Ф на зоны Френеля. Вид дифракционной картины будет зависеть от количества зон Френеля, укладывающихся в отверстие. Амплитуда результирующего колебания в точке В равна: $A=A_0/2 + A_n/2$ (плюс для нечетных n , минус — для четных). Дифракционная картина от круглого отверстия вблизи точки В будет иметь вид чередующихся светлых и темных колец.



• Дифракция Френеля на диске

Пусть диск закрывает m первых зон Френеля. Тогда амплитуда результирующего колебания в точке В равна: $A=A_{m+1}+A_{m+2}+A_{m+3}+A_{m+4}/2 + A_{m+5}/2 + A_{m+6}/2 + A_{m+7}/2 + A_{m+8}/2 + A_{m+9}/2 + A_{m+10}/2 + A_{m+11}/2 + A_{m+12}/2 + A_{m+13}/2 + A_{m+14}/2 + A_{m+15}/2 + A_{m+16}/2 + A_{m+17}/2 + A_{m+18}/2 + A_{m+19}/2 + A_{m+20}/2 + A_{m+21}/2 + A_{m+22}/2 + A_{m+23}/2 + A_{m+24}/2 + A_{m+25}/2 + A_{m+26}/2 + A_{m+27}/2 + A_{m+28}/2 + A_{m+29}/2 + A_{m+30}/2 + A_{m+31}/2 + A_{m+32}/2 + A_{m+33}/2 + A_{m+34}/2 + A_{m+35}/2 + A_{m+36}/2 + A_{m+37}/2 + A_{m+38}/2 + A_{m+39}/2 + A_{m+40}/2 + A_{m+41}/2 + A_{m+42}/2 + A_{m+43}/2 + A_{m+44}/2 + A_{m+45}/2 + A_{m+46}/2 + A_{m+47}/2 + A_{m+48}/2 + A_{m+49}/2 + A_{m+50}/2 + A_{m+51}/2 + A_{m+52}/2 + A_{m+53}/2 + A_{m+54}/2 + A_{m+55}/2 + A_{m+56}/2 + A_{m+57}/2 + A_{m+58}/2 + A_{m+59}/2 + A_{m+60}/2 + A_{m+61}/2 + A_{m+62}/2 + A_{m+63}/2 + A_{m+64}/2 + A_{m+65}/2 + A_{m+66}/2 + A_{m+67}/2 + A_{m+68}/2 + A_{m+69}/2 + A_{m+70}/2 + A_{m+71}/2 + A_{m+72}/2 + A_{m+73}/2 + A_{m+74}/2 + A_{m+75}/2 + A_{m+76}/2 + A_{m+77}/2 + A_{m+78}/2 + A_{m+79}/2 + A_{m+80}/2 + A_{m+81}/2 + A_{m+82}/2 + A_{m+83}/2 + A_{m+84}/2 + A_{m+85}/2 + A_{m+86}/2 + A_{m+87}/2 + A_{m+88}/2 + A_{m+89}/2 + A_{m+90}/2 + A_{m+91}/2 + A_{m+92}/2 + A_{m+93}/2 + A_{m+94}/2 + A_{m+95}/2 + A_{m+96}/2 + A_{m+97}/2 + A_{m+98}/2 + A_{m+99}/2 + A_{m+100}/2 + A_{m+101}/2 + A_{m+102}/2 + A_{m+103}/2 + A_{m+104}/2 + A_{m+105}/2 + A_{m+106}/2 + A_{m+107}/2 + A_{m+108}/2 + A_{m+109}/2 + A_{m+110}/2 + A_{m+111}/2 + A_{m+112}/2 + A_{m+113}/2 + A_{m+114}/2 + A_{m+115}/2 + A_{m+116}/2 + A_{m+117}/2 + A_{m+118}/2 + A_{m+119}/2 + A_{m+120}/2 + A_{m+121}/2 + A_{m+122}/2 + A_{m+123}/2 + A_{m+124}/2 + A_{m+125}/2 + A_{m+126}/2 + A_{m+127}/2 + A_{m+128}/2 + A_{m+129}/2 + A_{m+130}/2 + A_{m+131}/2 + A_{m+132}/2 + A_{m+133}/2 + A_{m+134}/2 + A_{m+135}/2 + A_{m+136}/2 + A_{m+137}/2 + A_{m+138}/2 + A_{m+139}/2 + A_{m+140}/2 + A_{m+141}/2 + A_{m+142}/2 + A_{m+143}/2 + A_{m+144}/2 + A_{m+145}/2 + A_{m+146}/2 + A_{m+147}/2 + A_{m+148}/2 + A_{m+149}/2 + A_{m+150}/2 + A_{m+151}/2 + A_{m+152}/2 + A_{m+153}/2 + A_{m+154}/2 + A_{m+155}/2 + A_{m+156}/2 + A_{m+157}/2 + A_{m+158}/2 + A_{m+159}/2 + A_{m+160}/2 + A_{m+161}/2 + A_{m+162}/2 + A_{m+163}/2 + A_{m+164}/2 + A_{m+165}/2 + A_{m+166}/2 + A_{m+167}/2 + A_{m+168}/2 + A_{m+169}/2 + A_{m+170}/2 + A_{m+171}/2 + A_{m+172}/2 + A_{m+173}/2 + A_{m+174}/2 + A_{m+175}/2 + A_{m+176}/2 + A_{m+177}/2 + A_{m+178}/2 + A_{m+179}/2 + A_{m+180}/2 + A_{m+181}/2 + A_{m+182}/2 + A_{m+183}/2 + A_{m+184}/2 + A_{m+185}/2 + A_{m+186}/2 + A_{m+187}/2 + A_{m+188}/2 + A_{m+189}/2 + A_{m+190}/2 + A_{m+191}/2 + A_{m+192}/2 + A_{m+193}/2 + A_{m+194}/2 + A_{m+195}/2 + A_{m+196}/2 + A_{m+197}/2 + A_{m+198}/2 + A_{m+199}/2 + A_{m+200}/2 + A_{m+201}/2 + A_{m+202}/2 + A_{m+203}/2 + A_{m+204}/2 + A_{m+205}/2 + A_{m+206}/2 + A_{m+207}/2 + A_{m+208}/2 + A_{m+209}/2 + A_{m+210}/2 + A_{m+211}/2 + A_{m+212}/2 + A_{m+213}/2 + A_{m+214}/2 + A_{m+215}/2 + A_{m+216}/2 + A_{m+217}/2 + A_{m+218}/2 + A_{m+219}/2 + A_{m+220}/2 + A_{m+221}/2 + A_{m+222}/2 + A_{m+223}/2 + A_{m+224}/2 + A_{m+225}/2 + A_{m+226}/2 + A_{m+227}/2 + A_{m+228}/2 + A_{m+229}/2 + A_{m+230}/2 + A_{m+231}/2 + A_{m+232}/2 + A_{m+233}/2 + A_{m+234}/2 + A_{m+235}/2 + A_{m+236}/2 + A_{m+237}/2 + A_{m+238}/2 + A_{m+239}/2 + A_{m+240}/2 + A_{m+241}/2 + A_{m+242}/2 + A_{m+243}/2 + A_{m+244}/2 + A_{m+245}/2 + A_{m+246}/2 + A_{m+247}/2 + A_{m+248}/2 + A_{m+249}/2 + A_{m+250}/2 + A_{m+251}/2 + A_{m+252}/2 + A_{m+253}/2 + A_{m+254}/2 + A_{m+255}/2 + A_{m+256}/2 + A_{m+257}/2 + A_{m+258}/2 + A_{m+259}/2 + A_{m+260}/2 + A_{m+261}/2 + A_{m+262}/2 + A_{m+263}/2 + A_{m+264}/2 + A_{m+265}/2 + A_{m+266}/2 + A_{m+267}/2 + A_{m+268}/2 + A_{m+269}/2 + A_{m+270}/2 + A_{m+271}/2 + A_{m+272}/2 + A_{m+273}/2 + A_{m+274}/2 + A_{m+275}/2 + A_{m+276}/2 + A_{m+277}/2 + A_{m+278}/2 + A_{m+279}/2 + A_{m+280}/2 + A_{m+281}/2 + A_{m+282}/2 + A_{m+283}/2 + A_{m+284}/2 + A_{m+285}/2 + A_{m+286}/2 + A_{m+287}/2 + A_{m+288}/2 + A_{m+289}/2 + A_{m+290}/2 + A_{m+291}/2 + A_{m+292}/2 + A_{m+293}/2 + A_{m+294}/2 + A_{m+295}/2 + A_{m+296}/2 + A_{m+297}/2 + A_{m+298}/2 + A_{m+299}/2 + A_{m+300}/2 + A_{m+301}/2 + A_{m+302}/2 + A_{m+303}/2 + A_{m+304}/2 + A_{m+305}/2 + A_{m+306}/2 + A_{m+307}/2 + A_{m+308}/2 + A_{m+309}/2 + A_{m+310}/2 + A_{m+311}/2 + A_{m+312}/2 + A_{m+313}/2 + A_{m+314}/2 + A_{m+315}/2 + A_{m+316}/2 + A_{m+317}/2 + A_{m+318}/2 + A_{m+319}/2 + A_{m+320}/2 + A_{m+321}/2 + A_{m+322}/2 + A_{m+323}/2 + A_{m+324}/2 + A_{m+325}/2 + A_{m+326}/2 + A_{m+327}/2 + A_{m+328}/2 + A_{m+329}/2 + A_{m+330}/2 + A_{m+331}/2 + A_{m+332}/2 + A_{m+333}/2 + A_{m+334}/2 + A_{m+335}/2 + A_{m+336}/2 + A_{m+337}/2 + A_{m+338}/2 + A_{m+339}/2 + A_{m+340}/2 + A_{m+341}/2 + A_{m+342}/2 + A_{m+343}/2 + A_{m+344}/2 + A_{m+345}/2 + A_{m+346}/2 + A_{m+347}/2 + A_{m+348}/2 + A_{m+349}/2 + A_{m+350}/2 + A_{m+351}/2 + A_{m+352}/2 + A_{m+353}/2 + A_{m+354}/2 + A_{m+355}/2 + A_{m+356}/2 + A_{m+357}/2 + A_{m+358}/2 + A_{m+359}/2 + A_{m+360}/2 + A_{m+361}/2 + A_{m+362}/2 + A_{m+363}/2 + A_{m+364}/2 + A_{m+365}/2 + A_{m+366}/2 + A_{m+367}/2 + A_{m+368}/2 + A_{m+369}/2 + A_{m+370}/2 + A_{m+371}/2 + A_{m+372}/2 + A_{m+373}/2 + A_{m+374}/2 + A_{m+375}/2 + A_{m+376}/2 + A_{m+377}/2 + A_{m+378}/2 + A_{m+379}/2 + A_{m+380}/2 + A_{m+381}/2 + A_{m+382}/2 + A_{m+383}/2 + A_{m+384}/2 + A_{m+385}/2 + A_{m+386}/2 + A_{m+387}/2 + A_{m+388}/2 + A_{m+389}/2 + A_{m+390}/2 + A_{m+391}/2 + A_{m+392}/2 + A_{m+393}/2 + A_{m+394}/2 + A_{m+395}/2 + A_{m+396}/2 + A_{m+397}/2 + A_{m+398}/2 + A_{m+399}/2 + A_{m+400}/2 + A_{m+401}/2 + A_{m+402}/2 + A_{m+403}/2 + A_{m+404}/2 + A_{m+405}/2 + A_{m+406}/2 + A_{m+407}/2 + A_{m+408}/2 + A_{m+409}/2 + A_{m+410}/2 + A_{m+411}/2 + A_{m+412}/2 + A_{m+413}/2 + A_{m+414}/2 + A_{m+415}/2 + A_{m+416}/2 + A_{m+417}/2 + A_{m+418}/2 + A_{m+419}/2 + A_{m+420}/2 + A_{m+421}/2 + A_{m+422}/2 + A_{m+423}/2 + A_{m+424}/2 + A_{m+425}/2 + A_{m+426}/2 + A_{m+427}/2 + A_{m+428}/2 + A_{m+429}/2 + A_{m+430}/2 + A_{m+431}/2 + A_{m+432}/2 + A_{m+433}/2 + A_{m+434}/2 + A_{m+435}/2 + A_{m+436}/2 + A_{m+437}/2 + A_{m+438}/2 + A_{m+439}/2 + A_{m+440}/2 + A_{m+441}/2 + A_{m+442}/2 + A_{m+443}/2 + A_{m+444}/2 + A_{m+445}/2 + A_{m+446}/2 + A_{m+447}/2 + A_{m+448}/2 + A_{m+449}/2 + A_{m+450}/2 + A_{m+451}/2 + A_{m+452}/2 + A_{m+453}/2 + A_{m+454}/2 + A_{m+455}/2 + A_{m+456}/2 + A_{m+457}/2 + A_{m+458}/2 + A_{m+459}/2 + A_{m+460}/2 + A_{m+461}/2 + A_{m+462}/2 + A_{m+463}/2 + A_{m+464}/2 + A_{m+465}/2 + A_{m+466}/2 + A_{m+467}/2 + A_{m+468}/2 + A_{m+469}/2 + A_{m+470}/2 + A_{m+471}/2 + A_{m+472}/2 + A_{m+473}/2 + A_{m+474}/2 + A_{m+475}/2 + A_{m+476}/2 + A_{m+477}/2 + A_{m+478}/2 + A_{m+479}/2 + A_{m+480}/2 + A_{m+481}/2 + A_{m+482}/2 + A_{m+483}/2 + A_{m+484}/2 + A_{m+485}/2 + A_{m+486}/2 + A_{m+487}/2 + A_{m+488}/2 + A_{m+489}/2 + A_{m+490}/2 + A_{m+491}/2 + A_{m+492}/2 + A_{m+493}/2 + A_{m+494}/2 + A_{m+495}/2 + A_{m+496}/2 + A_{m+497}/2 + A_{m+498}/2 + A_{m+499}/2 + A_{m+500}/2 + A_{m+501}/2 + A_{m+502}/2 + A_{m+503}/2 + A_{m+504}/2 + A_{m+505}/2 + A_{m+506}/2 + A_{m+507}/2 + A_{m+508}/2 + A_{m+509}/2 + A_{m+510}/2 + A_{m+511}/2 + A_{m+512}/2 + A_{m+513}/2 + A_{m+514}/2 + A_{m+515}/2 + A_{m+516}/2 + A_{m+517}/2 + A_{m+518}/2 + A_{m+519}/2 + A_{m+520}/2 + A_{m+521}/2 + A_{m+522}/2 + A_{m+523}/2 + A_{m+524}/2 + A_{m+525}/2 + A_{m+526}/2 + A_{m+527}/2 + A_{m+528}/2 + A_{m+529}/2 + A_{m+530}/2 + A_{m+531}/2 + A_{m+532}/2 + A_{m+533}/2 + A_{m+534}/2 + A_{m+535}/2 + A_{m+536}/2 + A_{m+537}/2 + A_{m+538}/2 + A_{m+539}/2 + A_{m+540}/2 + A_{m+541}/2 + A_{m+542}/2 + A_{m+543}/2 + A_{m+544}/2 + A_{m+545}/2 + A_{m+546}/2 + A_{m+547}/2 + A_{m+548}/2 + A_{m+549}/2 + A_{m+550}/2 + A_{m+551}/2 + A_{m+552}/2 + A_{m+553}/2 + A_{m+554}/2 + A_{m+555}/2 + A_{m+556}/2 + A_{m+557}/2 + A_{m+558}/2 + A_{m+559}/2 + A_{m+560}/2 + A_{m+561}/2 + A_{m+562}/2 + A_{m+563}/2 + A_{m+564}/2 + A_{m+565}/2 + A_{m+566}/2 + A_{m+567}/2 + A_{m+568}/2 + A_{m+569}/2 + A_{m+570}/2 + A_{m+571}/2 + A_{m+572}/2 + A_{m+573}/2 + A_{m+574}/2 + A_{m+575}/2 + A_{m+576}/2 + A_{m+577}/2 + A_{m+578}/2 + A_{m+579}/2 + A_{m+580}/2 + A_{m+581}/2 + A_{m+582}/2 + A_{m+583}/2 + A_{m+584}/2 + A_{m+585}/2 + A_{m+586}/2 + A_{m+587}/2 + A_{m+588}/2 + A_{m+589}/2 + A_{m+590}/2 + A_{m+591}/2 + A_{m+592}/2 + A_{m+593}/2 + A_{m+594}/2 + A_{m+595}/2 + A_{m+596}/2 + A_{m+597}/2 + A_{m+598}/2 + A_{m+599}/2 + A_{m+600}/2 + A_{m+601}/2 + A_{m+602}/2 + A_{m+603}/2 + A_{m+604}/2 + A_{m+605}/2 + A_{m+606}/2 + A_{m+607}/2 + A_{m+608}/2 + A_{m+609}/2 + A_{m+610}/2 + A_{m+611}/2 + A_{m+612}/2 + A_{m+613}/2 + A_{m+614}/2 + A_{m+615}/2 + A_{m+616}/2 + A_{m+617}/2 + A_{m+618}/2 + A_{m+619}/2 + A_{m+620}/2 + A_{m+621}/2 + A_{m+622}/2 + A_{m+623}/2 + A_{m+624}/2 + A_{m+625}/2 + A_{m+626}/2 + A_{m+627}/2 + A_{m+628}/2 + A_{m+629}/2 + A_{m+630}/2 + A_{m+631}/2 + A_{m+632}/2 + A_{m+633}/2 + A_{m+634}/2 + A_{m+635}/2 + A_{m+636}/2 + A_{m+637}/2 + A_{m+638}/2 + A_{m+639}/2 + A_{m+640}/2 + A_{m+641}/2 + A_{m+642}/2 + A_{m+643}/2 + A_{m+644}/2 + A_{m+645}/2 + A_{m+646}/2 + A_{m+647}/2 + A_{m+648}/2 + A_{m+649}/2 + A_{m+650}/2 + A_{m+651}/2 + A_{m+652}/2 + A_{m+653}/2 + A_{m+654}/2 + A_{m+655}/2 + A_{m+656}/2 + A_{m+657}/2 + A_{m+658}/2 + A_{m+659}/2 + A_{m+660}/2 + A_{m+661}/2 + A_{m+662}/2 + A_{m+663}/2 + A_{m+664}/2 + A_{m+665}/2 + A_{m+666}/2 + A_{m+667}/2 + A_{m+668}/2 + A_{m+669}/2 + A_{m+670}/2 + A_{m+671}/2 + A_{m+672}/2 + A_{m+673}/2 + A_{m+674}/2 + A_{m+675}/2 + A_{m+676}/2 + A_{m+677}/2 + A_{m+678}/2 + A_{m+679}/2 + A_{m+680}/2 + A_{m+681}/2 + A_{m+682}/2 + A_{m+683}/2 + A_{m+684}/2 + A_{m+685}/2 + A_{m+686}/2 + A_{m+687}/2 + A_{m+688}/2 + A_{m+689}/2 + A_{m+690}/2 + A_{m+691}/2 + A_{m+692}/2 + A_{m+693}/2 + A_{m+694}/2 + A_{m+695}/2 + A_{m+696}/2 + A_{m+697}/2 + A_{m+698}/2 + A_{m+699}/2 + A_{m+700}/2 + A_{m+701}/2 + A_{m+702}/2 + A_{m+703}/2 + A_{m+704}/2 + A_{m+705}/2 + A_{m+706}/2 + A_{m+707}/2 + A_{m+708}/2 + A_{m+709}/2 + A_{m+710}/2 + A_{m+711}/2 + A_{m+712}/2 + A_{m+713}/2 + A_{m+714}/2 + A_{m+715}/2 + A_{m+716}/2 + A_{m+717}/2 + A_{m+718}/2 + A_{m+719}/2 + A_{m+720}/2 + A_{m+721}/2 + A_{m+722}/2 + A_{m+723}/2 + A_{m+724}/2 + A_{m+725}/2 + A_{m+726}/2 + A_{m+727}/2 + A_{m+728}/2 + A_{m+729}/2 + A_{m+730}/2 + A_{m+731}/2 + A_{m+732}/2 + A_{m+733}/2 + A_{m+734}/2 + A_{m+735}/2 + A_{m+736}/2 + A_{m+737}/2 + A_{m+738}/2 + A_{m+739}/2 + A_{m+740}/2 + A_{m+741}/2 + A_{m+742}/2 + A_{m+743}/2 + A_{m+744}/2 + A_{m+745}/2 + A_{m+746}/2 + A_{m+747}/2 + A_{m+748}/2 + A_{m+749}/2 + A_{m+750}/2 + A_{m+751}/2 + A_{m+752}/2 + A_{m+753}/2 + A_{m+754}/2 + A_{m+755}/2 + A_{m+756}/2 + A_{m+757}/2 + A_{m+758}/2 + A_{m+759}/2 + A_{m+760}/2 + A_{m+761}/2 + A_{m+762}/2 + A_{m+763}/2 + A_{m+764}/2 + A_{m+765}/2 + A_{m+766}/2 + A_{m+767}/2 + A_{m+768}/2 + A_{m+769}/2 + A_{m+770}/2 + A_{m+771}/2 + A_{m+772}/2 + A_{m+773}/2 + A_{m+774}/2 + A_{m+775}/2 + A_{m+776}/2 + A_{m+777}/2 + A_{m+778}/2 + A_{m+779}/2 + A_{m+780}/2 + A_{m+781}/2 + A_{m+782}/2 + A_{m+783}/2 + A_{m+784}/2 + A_{m+785}/2 + A_{m+786}/2 + A_{m+787}/2 + A_{m+788}/2 + A_{m+789}/2 + A_{m+790}/2 + A_{m+791}/2 + A_{m+792}/2 + A_{m+793}/2 + A_{m+794}/2 + A_{m+795}/2 + A_{m+796}/2 + A_{m+797}/2 + A_{m+798}/2 + A_{m+799}/2 + A_{m+800}/2 + A_{m+801}/2 + A_{m+802}/2 + A_{m+803}/2 + A_{m+804}/2 + A_{m+805}/2 + A_{m+806}/2 + A_{m+807}/2 + A_{m+808}/2 + A_{m+809}/2 + A_{m+810}/2 + A_{m+811}/2 + A_{m+812}/2 + A_{m+813}/2 + A_{m+814}/2 + A_{m+815}/2 + A_{m+816}/2 + A_{m+817}/2 + A_{m+818}/2 + A_{m+819}/2 + A_{m+820}/2 + A_{m+821}/2 + A_{m+822}/2 + A_{m+823}/2 + A_{m+824}/2 + A_{m+825}/2 + A_{m+826}/2 + A_{m+827}/2 + A_{m+828}/2 + A_{m+829}/2 + A_{m+830}/2 + A_{m+831}/2 + A_{m+832}/2 + A_{m+833}/2 + A_{m+834}/2 + A_{m+835}/2 + A_{m+836}/2 + A_{m+837}/2 + A_{m+838}/2 + A_{m+839}/2 + A_{m+840}/2 + A_{m+841}/2 + A_{m+842}/2 + A_{m+843}/2 + A_{m+844}/2 + A_{m+845}/2 + A_{m+846}/2 + A_{m+847}/2 + A_{m+848}/2 + A_{m+849}/2 + A_{m+850}/2 + A_{m+851}/2 + A_{m+852}/2 + A_{m+853}/2 + A_{m+854}/2 + A_{m+855}/2 + A_{m+856}/2 + A_{m+857}/2 + A_{m+858}/2 + A_{m+859}/2 + A_{m+860}/2 + A_{m+861}/2 + A_{m+862}/2 + A_{m+863}/2 + A_{m+864}/2 + A_{m+865}/2 + A_{m+866}/2 + A_{m+867}/2 + A_{m+868}/2 + A_{m+869}/2 + A_{m+870}/2 + A_{m+871}/2 + A_{m+872}/2 + A_{m+873}/2 + A_{m+874}/2 + A_{m+875}/2 + A_{m+876}/2 + A_{m+877}/2 + A_{m+878}/2 + A_{m+879}/2 + A_{m+880}/2 + A_{m+881}/2 + A_{m+882}/2 + A_{m+883}/2 + A_{m+884}/2 + A_{m+885}/2 + A_{m+886}/2 + A_{m+887}/2 + A_{m+888}/2 + A_{m+889}/2 + A_{m+890}/2 + A_{m+891}/2 + A_{m+892}/2 + A_{m+893}/2 + A_{m+894}/2 + A_{m+895}/2 + A_{m+896}/2 + A_{m+897}/2 + A_{m+898}/2 + A_{m+899}/2 + A_{m+900}/2 + A_{m+901}/2 + A_{m+902}/2 + A_{m+903}/2 + A_{m+904}/2 + A_{m+905}/2 + A_{m+906}/2 + A_{m+907}/2 + A_{m+908}/2 + A_{m+909}/2 + A_{m+910}/2 + A_{m+911}/2 + A_{m+912}/2 + A_{m+913}/2 + A_{m+914}/2 + A_{m+915}/2 + A_{m+916}/2 + A_{m+917}/2 + A_{m+918}/2 + A_{m+919}/2 + A_{m+920}/2 + A_{m+921}/2 + A_{m+922}/2 + A_{m+923}/2 + A_{m+924}/2 + A_{m+925}/2 + A_{m+926}/2 + A_{m+927}/2 + A_{m+928}/2 + A_{m+929}/2 + A_{m+930}/2 + A_{m+931}/2 + A_{m+932}/2 + A_{m+933}/2 + A_{m+934}/2 + A_{m+935}/2 + A_{m+936}/2 + A_{m+937}/2 + A_{m+938}/2 + A_{m+939}/2 + A_{m+940}/2 + A_{m+941}/2 + A_{m+942}/2 + A_{m+943}/2 + A_{m+944}/2 + A_{m+945}/2 + A_{m+946}/2 + A_{m+947}/2 + A_{m+948}/2 + A_{m+949}/2 + A_{m+950}/2 + A_{m+951}/2 + A_{m+952}/2 + A_{m+953}/2 + A_{m+954}/2 + A_{m+955}/2 + A_{m+956}/2 + A_{m+957}/2 + A_{m+958}/2 + A_{m+959}/2 + A_{m+960}/2 + A_{m+961}/2 + A_{m+962}/2 + A_{m+963}/2 + A_{m+964}/2 + A_{m+965}/2 + A_{m+966}/2 + A_{m+967}/2 + A_{m+968}/2 + A_{m+969}/2 + A_{m+970}/2 + A_{m+971}/2 + A_{m+972}/2 + A_{m+973}/2 + A_{m+974}/2 + A_{m+975}/2 + A_{m+976}/2 + A_{m+977}/2 + A_{m+978}/2 + A_{m+979}/2 + A_{m+980}/2 + A_{m+981}/2 + A_{m+982}/2 + A_{m+983}/2 + A_{m+984}/2 + A_{m+985}/2 + A_{m+986}/2 + A_{m+987}/2 + A_{m+988}/2 + A_{m+989}/2 + A_{m+990}/2 + A_{m+991}/2 + A_{m+992}/2 + A_{m+993}/2 + A_{m+994}/2 + A_{m+995}/2 + A_{m+996}/2 + A_{m+997}/2 + A_{m+998}/2 + A_{m+999}/2 + A_{m+1000}/2 + A_{m+1001}/2 + A_{m+1002}/2 + A_{m+1003}/2 + A_{m+1004}/2 + A_{m+1005}/2 + A_{m+1006}/2 + A$

БИЛЕТ 10

1) Сила Лоренца. Движение заряженных частиц в электрическом и магнитном полях. Эффект Холла.

Опыт показывает, что на заряженную частицу, которая движется в магнитном поле, действует сила, которая называется магнитной силой Лоренца. Если скорость частицы v , заряд частицы q , индукция магнитного поля B , то вектор магнитной силы Лоренца определяется соотношением: $F_L = q(v \times B)$. Так как вектор магнитной силы Лоренца перпендикулярен скорости, то ее мощность и работа равны нулю. Поэтому кинетическая энергия (и величина скорости) заряженной частицы, движущейся только в магнитном поле, остается постоянной. Но в классической механике вектор силы не зависит от системы отсчета. Опыт показывает, что таким вектором силы является $F_L = qE + q(v \times B)$. Это называется силой Лоренца. Здесь E - вектор напряженности электрического поля. В частном случае, когда частица движется только в магнитном поле ($E = 0$), сила Лоренца совпадает с магнитной силой Лоренца. Однако, если перейти в систему отсчета, где частица в данный момент времени покоится ($v = 0$), то в этой системе будет $F_L = 0$. Но вектор силы Лоренца не должен измениться, поэтому

$$q(v \times B) = E - q(v \times B) = qE$$

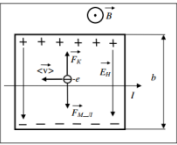
Рассмотрим движение положительно заряженной частицы в скрещенных электрическом и магнитном полях, для случая, когда $E \perp B$. Масса частицы m , $E = (0, E, 0)$, $B = (0, 0, B)$, $v = (v_x, v_y, 0)$. Предположим, что в начальный момент времени ($t=0$) частица находилась в начале координат. Уравнение движения (второй закон Ньютона) для частицы: $m \frac{dv}{dt} = qE + q(v \times B)$. $v \times B = (v_y B, -v_x B, 0)$, $q(v \times B) = (q v_y B, -q v_x B, 0)$, где $(v_x, v_y, 0)$ - орты декартовой системы координат, то, учитывая

$$m \frac{dv_x}{dt} = q v_y B$$

$$m \frac{dv_y}{dt} = -q v_x B$$

заданные значения, в координатном уравнении динамики примет вид: $m \frac{dv_x}{dt} = q v_y B$; $m \frac{dv_y}{dt} = -q v_x B$. Скорость будет $v = E/B + \sqrt{(E/B)^2 + (v_0)^2} \cdot \sin(qBt/m - \arctan(E/B v_0))$; $v_y = \sqrt{(E/B)^2 + (v_0)^2} \cdot \sin(qBt/m - \arctan(E/B v_0))$; $v_x = 0$; траектория частицы $R = m(qB)/((E/B)^2 + (v_0)^2)$, центр тяжести которой $x = E/B$.

Эффект Холла. Помещая в однородное магнитное поле (металлический) проводник выполненный в виде прямоугольного параллелепипеда так, чтобы силовые линии магнитного поля были направлены перпендикулярно одной из пар граней. Затем через вторую пару граней пропускаем электрический ток. Тогда между третьей парой граней появляется напряжение. Это явление называется **эффектом Холла** или **гальваномагнитным явлением**. Напряжение Холла между гранями $U_H = R_H B I$, где R_H - постоянная Холла, B - напряженность магнитного поля, I - ток, протекающий по проводнику. В - величина магнитной индукции. Эффект наблюдается не только в металлах, но и в полупроводниках. По знаку постоянной Холла судят о знаке заряда носителей. Эффект Холла используется, например, в приборах регистрирующих магнеторезистивный эффект) - изменение электрического сопротивления вещества в магнитном поле. Все проводники в той или иной мере обладают магнетосопротивлением. Явление качественно можно объяснить действием магнитной силы Лоренца на движущиеся носители тока.



2) Дифракция Фраунгофера на щели. Предельный переход от волновой оптики к геометрической.

Дифракция - это явление отклонения от прямолинейного распространения света, если оно не может быть сведено к отражению, преломлению или изгибанию световых лучей, вызванным пространственным изменением показателя преломления. При этом отклонение от законов геометрической оптики тем меньше, чем меньше длина волны света.

Рассмотрим дифракционную картину от узкой щели шириной b , на которую нормально падает плоская волна. Замесательные участки волнового фронта в форме узких длинных полосок, параллельных краям щели, становятся источниками вторичных цилиндрических волн. Разобьем волновую поверхность в щели на маленькие участки Δx , каждый из них в точке P создает колебание $\Delta A = K \cos(\omega t - k \cdot r)$, где K - амплитуда, геометрическая длина волны λ , r - расстояние от края щели и от луча на расстоянии x от края. Дифракция Фраунгофера наблюдается в том случае, когда источник света и точка наблюдения бесконечно удалены от препятствия, вызывающего дифракцию.

$$\sin \theta = \pm \lambda / m \text{ min}; \quad \sin \theta = \pm (2m - 1) \lambda / 2 \text{ max}$$

Геометрическая оптика является предельным случаем, в который переходит волновая оптика, когда длина световой волны стремится к нулю. При построении методами геометрической оптики размеры щели и изображения на (параллельно расположенной) экране будут одинаковыми независимо от расстояния l между экраном и перегородкой со щелью. Если строить изображение щели методом волновой оптики, то границы тени соответствуют второму минимуму, положение которого определяется углом $\phi \approx \lambda / b$. Следовательно, если величина $b/\lambda \ll 1$, то результаты построения методами волновой и геометрической оптики практически совпадают.

3) Пространство между пластинами плоского кондензатора заполнено парафином ($\epsilon = 2$). Расстояние между пластинами $d = 8,85$ мм. Какую разность потенциалов необходимо подать на пластины, чтобы поверхностная плотность связанных зарядов на парафине составляла $0,1$ нКл/см²?

Билет 10.

Задача №3

$d = 8,85 \text{ мм} = 8,85 \cdot 10^{-3} \text{ м}$

$\epsilon = 2$

$\sigma = 0,1 \text{ нКл/см}^2 = 0,1 \cdot 10^{-9} \text{ Кл/м}^2$

$E = ?$

$U = ?$

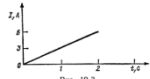
Решение:

$U = E \cdot d$

$E = \frac{\sigma}{\epsilon \cdot \epsilon_0} = \frac{0,1 \cdot 10^{-9}}{2 \cdot 8,85 \cdot 10^{-12}} = 5,64 \cdot 10^3 \text{ В/м}$

$U = 5,64 \cdot 10^3 \cdot 8,85 \cdot 10^{-3} = 49,9 \text{ В}$

4) Сила тока в проводнике сопротивлением $R = 20$ Ом нарастает в течение времени $\Delta t = 2$ с по линейному закону от $I_1 = 0,4$ до $I_{\text{max}} = 0,6$. Определить количество теплоты Q , выделившееся в этом проводнике за первую секунду и Q_2 - за вторую, а также отношение этих количеств теплот Q_2/Q_1 .



Решение. Закон Джоуля - Ленца $Q = I^2 R t$ применим в случае постоянного тока ($I = \text{const}$). Если же сила тока в проводнике изменяется, то указанный закон справедлив для бесконечно малого промежутка времени и записывается в виде $dQ = I^2 R dt$.

Здесь сила тока I является некоторой функцией времени. В нашем случае $I = at$.

где a - коэффициент пропорциональности, равный отношению приращения силы тока к интервалу времени, за который произошло это приращение:

С учетом равенства (2) формула (1) примет вид $dQ = a^2 R t^2 dt$.

Для определения количества теплоты, выделившегося за некоторый промежуток времени Δt , выражение (3) следует интегрировать в пределах от t_1 до t_2 :

При определении количества теплоты, выделившегося за первую секунду, пределы интегрирования $t_1 = 0$, $t_2 = 1$ с, следовательно, $Q_1 = 40$ Дж.

а за вторую секунду - пределы интегрирования $t_1 = 1$ с, $t_2 = 2$ с тогда $Q_2 = 420$ Дж.

Следовательно, $Q_2/Q_1 = 10,5$.

т. е. за вторую секунду выделяется теплоты в 10,5 раз больше, чем за первую секунду.

БИЛЕТ 11

1) Поток вектора магнитной индукции. Теорема Гаусса для магнитного поля. Работа по перемещению проводника с током в магнитном поле.

Поток вектора магнитной индукции, пронизывающий площадь S - это величина, равная:

$$\Phi_B = \int \vec{B} \cdot d\vec{S}$$

Теорема Гаусса для магнитной индукции: в интегральной форме: $\oint \vec{B} \cdot d\vec{S} = 0$.

в дифференциальной форме: $\nabla \cdot \vec{B} = 0$.

Она свидетельствует о том, что в природе не существует магнитных зарядов - физических объектов, на которых бы начинались или заканчивались линии магнитной индукции.

Работа, совершаемая проводником с током при перемещении, численно равна произведению тока на магнитный поток, пересеченный этим проводником:

$$dA = I d\Phi$$

2) Дифракционная решетка. Спектральные характеристики дифракционной решетки.

Дифракционная решетка - оптический прибор, представляет собой совокупность большого числа регулярно расположенных штрихов (щелей), нанесенных на некоторую поверхность.

Для того, чтобы в точке P наблюдался интерференционный максимум, разность хода Δ : $\Delta = d \sin \theta = \pm \lambda$ (*)

Здесь d - период решетки, λ - длина волны, θ - угол наблюдения. Если это условие выполнено, располагаются **главные максимумы** дифракционной картины.

В фокальной плоскости линзы расстояние y_m от максимума $m = 0$ до максимума m -го порядка при малых углах дифракции равно: $y_m = m \frac{f}{\lambda}$ где f - фокусное расстояние.

Дифракционные минимумы: $b \sin \theta = \pm \lambda m$

Распределение интенсивности при дифракции монохромат. света:

$$I = I_0 \frac{\sin^2(\frac{\delta}{2})}{(\frac{\delta}{2})^2} \frac{\sin^2(\frac{N\delta}{2})}{(\frac{N\delta}{2})^2}, \text{ где } \delta = 2\pi d \sin(\frac{\theta}{\lambda}); \quad \gamma = 2\pi d \sin(\frac{\theta}{\lambda})$$

Спектральные характеристики. Угловая дисперсия: Характеризует степень пространственного разделения волн с различными длинами λ , по определению: $D = d\theta/d\lambda$.

дифференцируя (*) $\frac{d\theta}{d\lambda} = \frac{m}{\lambda \cos \theta}$ чем меньше период дисперсии d , тем больше угловая дисперсия.

Разрешающая способность $R = \lambda/\delta\lambda$, где $\delta\lambda$ - наим. разность длин волн спектральных линий, при которой эти линии воспринимаются раздельно(разрешаются). Критерий Рэля: спектральные линии с разными λ , но одинаковой интенсивности, считаются разрешенными, если главный макс. одной линии совпадает с первым мин. другой.

$d \sin \theta_m = (\lambda + \delta\lambda)m = (m + \frac{1}{N})\lambda \Rightarrow \frac{\delta\lambda}{\lambda} = \frac{1}{N} m \lambda$

Справедливо когда: 1. интенсивность обоих максимумов одинакова. 2. Распределение линий обусловлено только дифракцией. 3. Надающий на решетку свет имеет ширину когерентности превышающую размер решетки.

Область дисперсии $\Delta\lambda = \lambda/m$, $\Delta\lambda$ - ширина спектрального аппарата при котором еще нет перекрытия спектров соседних порядков.

3) А. Свет с длиной волны $\lambda = 0,55$ мкм падает нормально на поверхность дифракционной решетки. В отраженном свете наблюдается максимум интерференционного 2-го порядка, расстояние между соседними темными полосами $\Delta x = 0,21$ мм. Определить угол между главными максимумами $\Delta\theta$.

При нормальном падении оптическая длина хода $\Delta = 2b \sin \theta$, где b - толщина клина в том месте, где наблюдают максимум m - го порядка;

n - показатель преломления стекла.

$2b \sin \theta = m \lambda$

$2(b_2 - b_1) \sin \theta = (m + \frac{1}{2}) \lambda$

$2(b_2 - b_1) \sin \theta = \lambda$; $2b_2 - b_1 = \frac{\lambda}{2K}$

Из рисунка

$\tan \alpha \approx \alpha = \frac{b_2 - b_1}{\Delta x} = \frac{\lambda}{2n \Delta x}$

$\Rightarrow \alpha = 9 \cdot 10^{-4}$ радиан

4) Пространство между обкладками плоского кондензатора заполнено парафином с показателем преломления $n = 2$. Расстояние между обкладками $d = 2$ мм. Какую разность потенциалов необходимо подать на пластины, чтобы поверхностная плотность связанных зарядов на парафине составляла $0,1$ нКл/см²?

Задача № 3.103

!!! Ответ в вариантах 1973г. указан неверно!!!

Найти емкость конденсатора:

$\frac{1}{C} = \frac{1}{C_1} + \frac{1}{C_2}$ $C_1 = \frac{\epsilon_1 \epsilon_0 S}{d_1}$ $C_2 = \frac{\epsilon_2 \epsilon_0 S}{d_2}$

$\frac{1}{C} = \frac{d_1}{\epsilon_1 \epsilon_0 S} + \frac{d_2}{\epsilon_2 \epsilon_0 S} \Rightarrow C = \frac{\epsilon_0 S (\epsilon_1 d_1 + \epsilon_2 d_2)}{\epsilon_1 \epsilon_2 d_1 d_2}$

$\epsilon_1 d_1 + \epsilon_2 d_2 = \frac{d_1}{\epsilon_1} + \frac{d_2}{\epsilon_2}$

каждому из конденсаторов:

$U = E_1 d_1 + E_2 d_2$ $E_1 = \frac{Q}{\epsilon_1 \epsilon_0 S}$ $E_2 = \frac{Q}{\epsilon_2 \epsilon_0 S}$

$U = E_1 d_1 + E_2 d_2 = \frac{Q}{\epsilon_0 S} (\frac{d_1}{\epsilon_1} + \frac{d_2}{\epsilon_2}) = \frac{Q}{\epsilon_0 S} (\frac{d_1}{\epsilon_1} + \frac{d_2}{\epsilon_2})$

$E_1 = \frac{Q}{\epsilon_1 \epsilon_0 S}$ $U = \frac{Q}{\epsilon_0 S} (\frac{d_1}{\epsilon_1} + \frac{d_2}{\epsilon_2})$

$C_1 = \frac{Q}{U_1} = \frac{\epsilon_1 \epsilon_0 S}{d_1}$ $C_2 = \frac{\epsilon_2 \epsilon_0 S}{d_2}$

$\frac{1}{C} = \frac{1}{C_1} + \frac{1}{C_2} = \frac{d_1}{\epsilon_1 \epsilon_0 S} + \frac{d_2}{\epsilon_2 \epsilon_0 S}$

$C = \frac{\epsilon_0 S (\epsilon_1 d_1 + \epsilon_2 d_2)}{\epsilon_1 \epsilon_2 d_1 d_2}$

Каждому из конденсаторов:

$U = E_1 d_1 + E_2 d_2$ $E_1 = \frac{Q}{\epsilon_1 \epsilon_0 S}$ $E_2 = \frac{Q}{\epsilon_2 \epsilon_0 S}$

$U = \frac{Q}{\epsilon_0 S} (\frac{d_1}{\epsilon_1} + \frac{d_2}{\epsilon_2})$

$C = \frac{Q}{U} = \frac{\epsilon_0 S (\epsilon_1 d_1 + \epsilon_2 d_2)}{\epsilon_1 \epsilon_2 d_1 d_2}$

БИЛЕТ 12

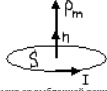
1) Проводник с током в магнитном поле. Закон Ампера. Контур с током в магнитном поле. Магнитный момент контура с током.

Каждый носитель тока испытывает действие магнитной силы, которое передается проводнику, по которому заряды движутся. В результате магнитное поле действует с определенной силой на проводник с током (силь Ампера). Найдем эту силу. Пусть

объемная плотность заряда равна ρ . В объеме dV находится заряд $dq = \rho dV$. Тогда сила $dF = \rho [v \times B] dV$ ($\text{inf} = q[v \times B]$) Так как плотность тока $j = \rho v$, то $dF = [j \times B] dV$. Если ток течет по тонкому проводнику, то согласно рис.: $dV = Idl \times d\vec{l} \times d\vec{B}$, где $d\vec{l}$ - вектор, совпадающий по направлению с током и характеризующий элемент длины тонкого проводника. Сила Ампера, действующая на контур с током равна: $F = \oint [j \times B] dV$

Если контур с током плоский и его размеры малы - элементарный. Магнитный момент $p_m = ISn$. На элементарный контур с током в неоднородном магн. поле действует сила $F = p_m \frac{dB}{dx}$. Т.к.

результатирующая сила по замкнутому контуру равна нулю, в однородном магнитном поле, для произвольной формы контура с током момент сил не зависит от выбранной точки и равен $N = [p_m \times B]$



2) Интерференция электромагнитных волн. Расчет интерференционной картины с двумя когерентными источниками. Пространственная когерентность.

Интерференция волн - взаимное усиление или ослабление когерентных волн при их наложении друг на друга, что приводит к перераспределению энергии колебаний, устойчивому во времени. Применительно к электромагнитным волнам это означает, что плоскости поляризации волн должны быть одинаковыми. Рассмотрим также две плоские электромагнитные волны, распространяющиеся в разных направлениях, у которых плоскости поляризации параллельны оси Z.

Пусть амплитуды волн одинаковы. Тогда, из уравнения волн будут иметь вид $E_1 = E_0 \cos(\omega_1 t - k_1 l_1 + \phi_1)$.

$E_2 = E_0 \cos(\omega_2 t - k_2 l_2 + \phi_2)$

По принципу суперпозиции волновых полей $E = E_1 + E_2 = E_0 \cos(\omega_1 t - k_1 l_1 + \phi_1) + E_0 \cos(\omega_2 t - k_2 l_2 + \phi_2)$

$E = 2E_0 \cos(\frac{(\omega_1 - \omega_2)t}{2} - \frac{k_1 l_1 - k_2 l_2}{2} + \frac{\phi_1 - \phi_2}{2}) \cos(\frac{(\omega_1 + \omega_2)t}{2} - \frac{k_1 l_1 + k_2 l_2}{2} + \frac{\phi_1 + \phi_2}{2})$

Если амплитуду результирующей волны записать в виде $A = 2E_0 \left| \cos(\frac{(\omega_1 - \omega_2)t}{2} - \frac{k_1 l_1 - k_2 l_2}{2} + \frac{\phi_1 - \phi_2}{2}) \right|$

то суперпозиция волн описывается уравнением $E = A \left| \cos(\frac{(\omega_1 + \omega_2)t}{2} - \frac{k_1 l_1 + k_2 l_2}{2} + \frac{\phi_1 + \phi_2}{2} + \theta) \right|$ где $\theta = 0$ при $\cos(\frac{(\omega_1 - \omega_2)t}{2} - \frac{k_1 l_1 - k_2 l_2}{2} + \frac{\phi_1 - \phi_2}{2}) \geq 0$ $\theta = \pi$ при $\cos(\frac{(\omega_1 - \omega_2)t}{2} - \frac{k_1 l_1 - k_2 l_2}{2} + \frac{\phi_1 - \phi_2}{2}) < 0$

Амплитуда результирующей волны $A = 2E_0$

не будет зависеть от времени, если частоты волн совпадают $\omega_1 = \omega_2$ и величина $\phi_1 = \phi_2$ не зависит от времени.

Когерентными называются волны, разность фаз которых не зависит от времени. **Пространственная когерентность** - когерентность волн, которые совпадают в один и тот же момент времени в разных точках плоскости, перпендикулярной направлению распространения волн. Рассмотрим две разные точки одной волновой поверхности в один и тот же момент времени. Максимальное расстояние (вдоль этой поверхности), на котором излучение в точках еще является когерентным, называется радиусом пространственной когерентности.

$\rho \approx \frac{\lambda}{\gamma}$

Начальная фаза волны естественного света меняется спонтанно, то разность фаз двух волн одинаковой частоты, испущенных из одной и той же точки волновой поверхности, но в разное время, вообще говоря, будет меняться во времени. Т.е. волны не будут являться когерентными. В этом случае говорят о временной когерентности

$t_K = \frac{\lambda}{c} = \frac{\lambda^2}{c \Delta \lambda}$

3) В некоторой точке A внутри однородного диэлектрика с проницаемостью $\epsilon = 2,5$ плотность стороннего заряда $\rho = 50$ мкКл/м³. Найти в этой точке плотность связанных зарядов.

$E = 2,5$

$\rho_{св} = 50 \text{ мкКл/м}^3$

$\rho_{св} = ?$

$\text{div}(\rho) = \rho_{св}$

$\rho = \epsilon_0 \epsilon E \Rightarrow \text{div}(\epsilon \epsilon_0 E) = \epsilon_0 \epsilon \text{div}(E) = \rho_{св}$

$\Rightarrow \text{div}(E) = \frac{\rho_{св}}{\epsilon_0 \epsilon}$

$\Rightarrow \rho_{св} = \epsilon_0 \epsilon \text{div}(E)$

$\Rightarrow \rho_{св} = \epsilon_0 \epsilon \frac{\rho}{\epsilon_0 \epsilon} = \rho$

$\Rightarrow \rho_{св} = \rho = 50 \text{ мкКл/м}^3$

4) Металлический шар радиусом $R = 3$ см несет заряд $Q = 20$ нКл. Шар окружен слоем парафина ($\epsilon = 2$) толщиной $d = 2$ см. Определить энергию W электрического поля, заключенную в слое диэлектрика.

Решение. Так как поле, созданное заряженным шаром, является неоднородным, то энергия поля в слое диэлектрика распределена неравномерно. Однако объемная плотность энергии будет одинакова во всех точках, отстоящих на равных расстояниях от центра сферы, так как поле заряженного шара обладает сферической симметрией.

Выразим энергию в элементарном сферическом слое диэлектрика объемом dV : $dW = \epsilon dV$

где ϵ - объемная плотность энергии (рис. 18.1).

Полная энергия выразится интегралом $W = \int \epsilon dV = 4\pi \int_0^R \epsilon r^2 dr$

где r - радиус элементарного сферического слоя; dr - его толщина. Объемная плотность энергии определяется по формуле $\epsilon = \frac{1}{2} \epsilon_0 E^2$, где E - напряженность поля. В нашем случае $E = \frac{Q}{4\pi \epsilon_0 r^2}$, следовательно,

$\epsilon = \frac{Q^2}{32\pi^2 \epsilon_0 r^4}$

Подставляя это выражение плотности в формулу (1) и вынося за знак интеграла постоянные величины, получим $W = \frac{Q^2}{8\pi \epsilon_0} \int_0^R \frac{dr}{r^2} = \frac{Q^2}{8\pi \epsilon_0} \left(\frac{1}{R} - \frac{1}{R+d} \right) = \frac{Q^2 d}{8\pi \epsilon_0 R(R+d)}$

Произведя вычисления по этой формуле, найдем $W = 12$ мкДж.

БИЛЕТ 19

1. Теорема Гаусса и ее применение для расчета электрического поля.

Помогает \vec{E} через замкнутую поверхность Σ зарядов внутри этой пов. деленный на ϵ_0 .

$$\oint_S \vec{E} dS = \frac{1}{\epsilon_0} q_{\text{внутр}} - \text{или} \quad \text{div } \vec{E} = \frac{\rho}{\epsilon_0} - \text{или}$$

Применяем удобно, когда картина силовых линий является какой-либо симметрией.

1) Пале. потенциал задан φ . В кач-ве пов. - сфера (S, R)

$$(\vec{E}, dS) = E \cdot dS, \text{ т.к. } \vec{E} \parallel dS$$

$$\oint_S (\vec{E}, dS) = \oint_S E dS = E \cdot S = E \cdot 4\pi R^2$$

$$S = 4\pi R^2; \quad \oint_S (\vec{E}, dS) = E \cdot S = \frac{1}{\epsilon_0} q = \frac{1}{\epsilon_0} \cdot \frac{4\pi R^2}{4\pi R^2} = \frac{q}{\epsilon_0}$$

2) Пале ∞ нити. Цилиндрическая поверхность Σ ; R, L - цилиндр

$$\oint_S (\vec{E}, dS) = \oint_S (\vec{E}, dS) + \oint_S (\vec{E}, dS), \text{ т.к. } \vec{E} \perp dS \text{ на боковой поверхности}$$

$$\Rightarrow \oint_{\text{бок}} (\vec{E}, dS) = 0; \quad \oint_{\text{бок}} (\vec{E}, dS) = E \cdot S = E \cdot 2\pi R L$$

$$S_{\text{бок}} = 2\pi R L \Rightarrow \oint_S (\vec{E}, dS) = E \cdot 2\pi R L = \frac{q}{\epsilon_0}$$

$$\text{По известности: } E = \frac{\rho}{\epsilon_0} \quad \text{Пале сфера/цилиндр: } E = \frac{q}{4\pi \epsilon_0 R^2}$$

2) Электромагнитная индукция. Закон Фарадея. Правило Ленца. Самоиндукция. Взаимная индукция. Энергия и плотность энергии магнитного поля.

ЭМ индукция - явление возникновения электрического тока в замкнутом проводящем контуре при изменении магнитного потока, охватываемого этим контуром.

Закон Фарадея
Величина ЭДС определяется скоростью изменения магнитного потока:
 $\epsilon_i = - \frac{d\Phi}{dt}$

Правило Ленца: индукционный ток направлен так, чтобы создаваемое им магнитное поле компенсировало изменение магнитного потока.

Из интегральной формы закона электромагнитной индукции (закона Фарадея)

$$\oint (\vec{E}, d\vec{l}) = - \frac{d}{dt} \iint_S (\vec{B}, d\vec{S})$$

с помощью теоремы Стокса $\oint (\vec{E}, d\vec{l}) = \iint_S (\text{rot } \vec{E}, d\vec{S})$ можно получить дифференциальную форму

$$\text{rot } (\vec{E}, d\vec{l}) = - \frac{\partial \vec{B}}{\partial t}$$

При изменении во времени индукции магнитного поля в данной точке пространства, в окрестности этой точки возникает поле вихревого электрического поля, направление которого определяется скоростью изменения вектора магнитной индукции.

При изменении силы тока I в контуре будет изменяться и магнитный поток через площадку контура Φ , потому в контуре появится индукционный ток, направление которого определяется правилом Ленца. Это явление называется **самоиндукцией**.

$\epsilon_{\text{са}} = -L \frac{dI}{dt}$, где L - индуктивность - коэффициент пропорциональности в выражении.

Энергия магнитного поля, создаваемая в катушке индуктивности L электрическим током силой I , определяется формулой $W_M = \frac{LI^2}{2}$. Индуктивность катушки $L = \mu_0 \mu_r \frac{N^2}{l} \pi R^2$, индукция магнитного поля в катушке $B = \mu_0 \mu_r \frac{NI}{l}$, напряженность магнитного поля $H = \frac{NI}{l}$. Тогда $W_M = \frac{1}{2} \mu_0 \mu_r N^2 \pi R^2 l I^2$.

Явление возникновения ЭДС в одном из контуров при изменении силы тока в другом называется взаимной индукцией. Рассмотрим два неподвижных контура (1 и 2), расположенных достаточно близко друг от друга. Обозначим через Φ_{12} ту часть потока, которая пронизывает контур 2. Если ток I_1 изменяется, то в контуре 2 индуцируется ЭДС ϵ_{21} , которая по закону Фарадея равна и противоположна по знаку скорости изменения магнитного потока Φ_{12} , созданного током в первом контуре и пронизывающего второй: $\epsilon_{21} = -L_{21} \frac{dI_1}{dt}$.

3) В длинном соленоиде с радиусом сечения a и числом витков n на единицу длины изменяют ток с постоянной скоростью I . Найти напряженность вихревого электрического поля как функцию расстояния x от оси соленоида. Изобразить примерный график этой зависимости.

В длинном идеальном соленоиде магнитное поле является однородным и направлено вдоль оси соленоида. В поперечном сечении соленоида магнитное поле является вихревым, т.е. его вектор \vec{E} направлен по касательной к окружности, радиус которой равен расстоянию x от оси соленоида.

$$\vec{B} = \mu_0 n I \vec{e}_z$$

$$\oint (\vec{E}, d\vec{l}) = - \frac{d\Phi}{dt} = - \frac{d}{dt} \iint_S (\vec{B}, d\vec{S})$$

$$\oint (\vec{E}, d\vec{l}) = E \cdot 2\pi x = - \frac{d}{dt} (B \cdot \pi x^2) = - \pi x^2 \frac{dB}{dt}$$

$$E = - \frac{x}{2} \frac{dB}{dt}$$

$$E = - \frac{x}{2} \mu_0 n \frac{dI}{dt}$$

$$E = - \frac{x}{2} \mu_0 n \frac{dI}{dt}$$

$$E = - \frac{x}{2} \mu_0 n \frac{dI}{dt}$$

$$E = - \frac{x}{2} \mu_0 n \frac{dI}{dt}$$

$$E = - \frac{x}{2} \mu_0 n \frac{dI}{dt}$$

$$E = - \frac{x}{2} \mu_0 n \frac{dI}{dt}$$

$$E = - \frac{x}{2} \mu_0 n \frac{dI}{dt}$$

БИЛЕТ 20

1) Электрический заряд. Закон Кулона. Напряженность электростатического поля. Принцип суперпозиции.

Электрический заряд. Наряду с массой, одним из свойств частиц вещества является электрический заряд. Различают два вида электрического заряда: положительный и отрицательный. О наличии заряда у тела судят по его взаимодействию с другими заряженными телами. При этом одноименно заряженные тела отталкиваются, разноименно притягиваются.

Элементарным зарядом называется абсолютная величина электрического заряда электрона или ядра атома водорода-протона. В СИ величина элементарного заряда равна $e = 1.6 \cdot 10^{-19}$ Кл. Любой электрический заряд кратен элементарному заряду.

Электрические заряды могут появляться или исчезать только парами. Отсюда следует: закон сохранения электрического заряда - сумма зарядов в замкнутой (изолированной) системе остается постоянной.

Точечным электрическим зарядом называется заряженное тело, размерами которого (в условиях данной задачи) можно пренебречь.

Закон Кулона. Опыт показывает, что взаимодействие точечных зарядов определяется законом Кулона: $F = k \frac{q_1 q_2}{r^2}$, где $k = \frac{1}{4\pi \epsilon_0}$ - постоянный коэффициент.

Два точечных неподвижных заряда, находящихся на расстоянии R друг от друга взаимодействуют друг с другом с силой, величина которой пропорциональна произведению величин зарядов и обратно пропорциональна квадрату расстояния между ними.

Для закона Кулона справедливо утверждение: вектор силы, действующий на точечный заряд со стороны остальных зарядов равен векторной сумме сил, действующих со стороны каждого заряда в отдельности $\vec{F} = \sum \vec{F}_i$.

Напряженность электростатического поля. По современным представлениям электрические заряды взаимодействуют посредством векторной материальной субстанции, которая называется электрическим полем и является одной из форм проявления электромагнитного поля.

Электрическое поле характеризуется скалярной характеристикой - **потенциалом** φ , который определяется как отношение вектора силы, действующей на точечный заряд q , помещенный в данную точку поля, к величине этого заряда $\vec{E} = \frac{\vec{F}}{q}$. Величина напряженности измеряется в Н/Кл или $\frac{В}{м}$. Зная напряженность в данной точке можно найти силу, действующую на заряд $\vec{F} = q \cdot \vec{E}$. Отсюда видно, что на положительно заряженные частицы сила действует по направлению вектора напряженности электрического поля, а на отрицательно заряженные - против.

Правило, чтобы найти направление вектора напряженности электрического поля в данной точке, надо поместить в эту точку **положительный** заряд. Тогда вектор напряженности будет направлен так же как и вектор силы, действующей на заряд.

Принцип суперпозиции для электрического поля: **Вектор напряженности поля, создаваемого системой зарядов, равен векторной сумме напряженностей полей, создаваемых каждым из зарядов в отдельности** $\vec{E} = \sum \vec{E}_i$.

Это следует из того, что силы складываются как векторы $\vec{F} = \sum \vec{F}_i$, поэтому $\vec{E} = \frac{\vec{F}}{q} = \sum \frac{\vec{F}_i}{q} = \sum \vec{E}_i$.

2. Вихревое электрическое поле. Ток смещения. Закон полного тока. Уравнения Максвелла в интегральной форме.

Вихревое электрическое поле. Вихревое электрическое поле возникает при изменении магнитного потока. Оно характеризуется тем, что его вектор \vec{E} направлен по касательной к замкнутому контуру, охватывающему участок, где происходит изменение магнитного потока.

$$\oint (\vec{E}, d\vec{l}) = - \frac{d\Phi_B}{dt}$$

$$\oint (\vec{E}, d\vec{l}) = - \frac{d}{dt} \iint_S (\vec{B}, d\vec{S})$$

$$\oint (\vec{E}, d\vec{l}) = - \frac{d}{dt} \iint_S (\vec{B}, d\vec{S})$$

$$\oint (\vec{E}, d\vec{l}) = - \frac{d}{dt} \iint_S (\vec{B}, d\vec{S})$$

$$\oint (\vec{E}, d\vec{l}) = - \frac{d}{dt} \iint_S (\vec{B}, d\vec{S})$$

$$\oint (\vec{E}, d\vec{l}) = - \frac{d}{dt} \iint_S (\vec{B}, d\vec{S})$$

$$\oint (\vec{E}, d\vec{l}) = - \frac{d}{dt} \iint_S (\vec{B}, d\vec{S})$$

$$\oint (\vec{E}, d\vec{l}) = - \frac{d}{dt} \iint_S (\vec{B}, d\vec{S})$$

$$\oint (\vec{E}, d\vec{l}) = - \frac{d}{dt} \iint_S (\vec{B}, d\vec{S})$$

$$\oint (\vec{E}, d\vec{l}) = - \frac{d}{dt} \iint_S (\vec{B}, d\vec{S})$$

$$\oint (\vec{E}, d\vec{l}) = - \frac{d}{dt} \iint_S (\vec{B}, d\vec{S})$$

$$\oint (\vec{E}, d\vec{l}) = - \frac{d}{dt} \iint_S (\vec{B}, d\vec{S})$$

$$\oint (\vec{E}, d\vec{l}) = - \frac{d}{dt} \iint_S (\vec{B}, d\vec{S})$$

$$\oint (\vec{E}, d\vec{l}) = - \frac{d}{dt} \iint_S (\vec{B}, d\vec{S})$$

$$\oint (\vec{E}, d\vec{l}) = - \frac{d}{dt} \iint_S (\vec{B}, d\vec{S})$$

$$\oint (\vec{E}, d\vec{l}) = - \frac{d}{dt} \iint_S (\vec{B}, d\vec{S})$$

$$\oint (\vec{E}, d\vec{l}) = - \frac{d}{dt} \iint_S (\vec{B}, d\vec{S})$$

$$\oint (\vec{E}, d\vec{l}) = - \frac{d}{dt} \iint_S (\vec{B}, d\vec{S})$$

$$\oint (\vec{E}, d\vec{l}) = - \frac{d}{dt} \iint_S (\vec{B}, d\vec{S})$$

$$\oint (\vec{E}, d\vec{l}) = - \frac{d}{dt} \iint_S (\vec{B}, d\vec{S})$$

$$\oint (\vec{E}, d\vec{l}) = - \frac{d}{dt} \iint_S (\vec{B}, d\vec{S})$$

$$\oint (\vec{E}, d\vec{l}) = - \frac{d}{dt} \iint_S (\vec{B}, d\vec{S})$$

БИЛЕТ 20 (продолжение)

4) Внутри шара, заряженного равномерно с объемной плотностью ρ , имеется сферическая полость. Центр полости смещен относительно центра шара на расстоянии a . Пренебрегая влиянием вещества шара, найти напряженность E внутри полости.

Задача
Внутри шара, заряженного равномерно с объемной плотностью ρ , имеется сферическая полость. Центр полости смещен относительно центра шара на расстоянии a . Пренебрегая влиянием вещества шара, найти напряженность E внутри полости.

И. И. Угрюмов. Задачи по общей физике. 1979г. №3.28/4-ое издание. №

Дано:
 a - радиус шара, R - радиус полости, ρ - объемная плотность заряда.

Найти:
 E - напряженность электрического поля.

Решение:
Рассмотрим простой заряженный равномерно шар без всяких полостей. Изучим поле внутри него. Очевидно, что направление поля совпадает с радиус-вектором, проведенным из центра шара. Найдем величину поля в точке P внутри шара.

$$\Phi = \int \vec{E} \cdot d\vec{S} = \frac{q}{\epsilon_0}$$

$$E \cdot S = \frac{q}{\epsilon_0}$$

$$E = \frac{\rho r}{3\epsilon_0}$$

$$E = \frac{\rho r}{3\epsilon_0}$$

$$E = \frac{\rho r}{3\epsilon_0}$$

$$E = \frac{\rho r}{3\epsilon_0}$$

$$E = \frac{\rho r}{3\epsilon_0}$$

$$E = \frac{\rho r}{3\epsilon_0}$$

$$E = \frac{\rho r}{3\epsilon_0}$$

$$E = \frac{\rho r}{3\epsilon_0}$$

$$E = \frac{\rho r}{3\epsilon_0}$$

$$E = \frac{\rho r}{3\epsilon_0}$$

$$E = \frac{\rho r}{3\epsilon_0}$$

$$E = \frac{\rho r}{3\epsilon_0}$$

$$E = \frac{\rho r}{3\epsilon_0}$$

$$E = \frac{\rho r}{3\epsilon_0}$$

$$E = \frac{\rho r}{3\epsilon_0}$$

$$E = \frac{\rho r}{3\epsilon_0}$$

$$E = \frac{\rho r}{3\epsilon_0}$$

$$E = \frac{\rho r}{3\epsilon_0}$$

$$E = \frac{\rho r}{3\epsilon_0}$$

$$E = \frac{\rho r}{3\epsilon_0}$$

$$E = \frac{\rho r}{3\epsilon_0}$$

$$E = \frac{\rho r}{3\epsilon_0}$$

$$E = \frac{\rho r}{3\epsilon_0}$$

$$E = \frac{\rho r}{3\epsilon_0}$$

$$E = \frac{\rho r}{3\epsilon_0}$$

$$E = \frac{\rho r}{3\epsilon_0}$$

$$E = \frac{\rho r}{3\epsilon_0}$$

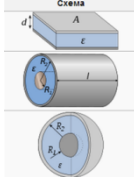
$$E = \frac{\rho r}{3\epsilon_0}$$

$$E = \frac{\rho r}{3\epsilon_0}$$

БИЛЕТ 21

1) Вектор напряженности магнитного поля. Принцип суперпозиции полей. Теорема о циркуляции напряженности магнитного поля в инт.ср. и диф.форм. В магнетиках, помещенных в магнитное поле возникают токи намагничивания, поэтому циркуляция вектора В определяется не только токами проводимости, но и токами намагничивания $\oint \vec{B} d\vec{l} = \mu_0(I + I_m)$. Циркуляция намагниченности $\oint \vec{J} d\vec{l} = I$, $\oint (\frac{B}{\mu} - J) d\vec{l} = I$, отсюда вектор напряженности (А/м) $\vec{H} = (\frac{B}{\mu} - J)$. Теорема о циркуляции: Циркуляция вектора H по произвольному замкнутому контуру равна алгебраической сумме токов проводимости, охватываемых этим контуром. $\oint \vec{H} d\vec{l} = I$ инт.форма. $\vec{H} \times \vec{H} = \vec{j}$ диф.форма, ротор H равен плотности тока проводимости. Принцип суперпозиции: магнитное поле, создаваемое несколькими движущимися зарядами или токами равно векторной сумме магн. полей, создаваемых каждым зарядом или током в отдельности. $\vec{B} = \sum \vec{B}_i$

2) Электропроводность проводников и конденсаторов. Емкость плоского, цилиндрического и сферического конденсаторов. Сообщенный проводнику заряд q распределяется по его поверхности так, чтобы напряженность поля внутри проводника была равна нулю. Отношение плотностей заряда в двух произвольных точках поверхности проводника при любой величине заряда будет одним и тем же. Отсюда вытекает, что потенциал единичного проводника пропорционален находящемуся на нем заряду. $q = C \cdot \varphi$. Коэффициент пропорциональности C между потенциалом и зарядом - электропроводность проводника C=q/φ (фаряды Ф) = (Кл/В). Конденсатор-система двух проводников, заряженных одинаковыми по величине и разными по знакам зарядами. Проводники - обкладки конденсатора. Электропроводность конденсатора: C=q/U. Вывод емкости:



Сферический: $U = \varphi_1 - \varphi_2 = \int_{R_1}^{R_2} E(r) dr = \frac{q}{4\pi\epsilon_0} \left(\frac{1}{R_1} - \frac{1}{R_2} \right)$

Цилиндрический: $U = \varphi_1 - \varphi_2 = \int_{R_1}^{R_2} E(r) dr = \frac{q}{2\pi\epsilon_0 L} \ln \left(\frac{R_2}{R_1} \right)$

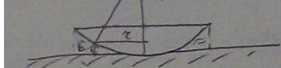
Плоский конденсатор: $C = \frac{q}{U} = \frac{q}{\frac{q}{\epsilon_0 S} d} = \frac{\epsilon_0 S}{d}$

Цилиндрический конденсатор: $C = 2\pi\epsilon_0 L \frac{1}{\ln \frac{R_2}{R_1}}$

Сферический конденсатор: $C = 4\pi\epsilon_0 \frac{R_1 R_2}{R_2 - R_1}$

Сфера: $C = 4\pi\epsilon_0 R$

3) В установке «кольца Нютона» радиус выпуклой поверхности линзы равен R = 0,9м, а пространство между линзой и стеклянной пластиной заполнено жидкостью. Чему равен показатель преломления жидкости, если при падении на отраженном свете радиус второго светлого кольца r2 = 0,75мм, а длина волны света λ = 0,65мкм?



$R^2 = \frac{1}{2} r^2 + (R - b)^2$
 $b = \frac{r^2}{2R}$
 $\Delta = 2b \cdot \frac{\lambda}{2}$

$b = \frac{r^2}{2R}$
 $\Delta = 2b \cdot \frac{\lambda}{2}$

$\frac{r^2}{2R} \cdot \frac{\lambda}{2} = m \lambda$

$n = \frac{\lambda}{\frac{1}{2} + m} \cdot \frac{R}{r^2}$

$n = \frac{5 \cdot \lambda R}{r^2}$

4) Электрический заряд Q равномерно распределен по объему непроводящего шара радиусом R. Определите напряженность электрического поля: а) снаружи шара (r>R); б) внутри шара (r<R). Постройте график E(r).

Дано	Решение
R Q r1	$\oint \vec{E}_n d\vec{s} = \frac{Q}{\epsilon_0}$
E1, E2 — ? E(r) — ?	
r1 < R Q = 0, E1 = 0,	
r2 > R E2 · 4πr2² = Q/ε₀, E2 = Q/(4πε₀r2²),	
Ответ E1 = 0,	

БИЛЕТ 22

1) Теорема Гаусса для электростатического поля в вакууме. Применение теоремы Гаусса для расчета электростатических полей.

1. Теорема Гаусса и ее применение для расчета электрического поля.

Поток \vec{E} через замкнутую поверхность = Σ зарядов внутри этой пов. деленный на ε₀.

$\oint \vec{E} d\vec{s} = \frac{1}{\epsilon_0} \cdot q_{внутр}$ - инт. $\text{div } \vec{E} = \frac{\rho}{\epsilon_0}$ - диф.

Упрощения удобны, когда картина силовых линий симметрична какой-либо симметрией.

1) Плотность заряда q: в кон-ке пов. - сфера (S, R)



$\vec{E} \cdot d\vec{s} = E \cdot ds$, м.к. $\vec{E} \parallel \vec{n}$
 $E = \frac{1}{\epsilon_0} \cdot q \cdot \frac{1}{4\pi R^2} = \frac{q}{4\pi \epsilon_0 R^2}$

$\oint \vec{E} d\vec{s} = \oint E ds = E \oint ds = E \cdot S$

$S = 4\pi R^2$; $\oint \vec{E} d\vec{s} = E \cdot S = \frac{1}{\epsilon_0} \cdot q \cdot 4\pi R^2$

2) Плотность заряда q: цилиндрическая поверхность - цилиндр (L, R, L - высота)

$\oint \vec{E} d\vec{s} = \oint \vec{E} \cdot d\vec{s} = \oint E ds$, м.к. $\vec{E} \perp d\vec{s}$

$\Rightarrow \oint \vec{E} d\vec{s} = 0$; $\oint \vec{E} d\vec{s} = E \cdot S = E \cdot 2\pi R L$

$\oint \vec{E} d\vec{s} = E \cdot 2\pi R L = \frac{q}{\epsilon_0}$

отсюда: $E = \frac{q}{2\pi \epsilon_0 R L}$

или: $E = \frac{q}{\epsilon_0 S}$

2. Волновое уравнение для электромагнитного поля и его общее решение. Скорость распространения электромагнитных волн.

Расс. ур-я Максв. в вакууме при отсутствии зр и т.к.в.

$\vec{E} = -\frac{\partial \vec{A}}{\partial t}$, $\vec{B} = \text{grad}(\text{div } \vec{A}) - \Delta \vec{A}$

$\Delta \vec{A} = -\frac{1}{c^2} \frac{\partial^2 \vec{A}}{\partial t^2}$

$\Delta \vec{A} = -\frac{1}{c^2} \frac{\partial^2 \vec{A}}{\partial t^2}$

$\Delta \vec{A} = -\frac{1}{c^2} \frac{\partial^2 \vec{A}}{\partial t^2}$

$\Delta \vec{A} = -\frac{1}{c^2} \frac{\partial^2 \vec{A}}{\partial t^2}$

$\Delta \vec{A} = -\frac{1}{c^2} \frac{\partial^2 \vec{A}}{\partial t^2}$

$\Delta \vec{A} = -\frac{1}{c^2} \frac{\partial^2 \vec{A}}{\partial t^2}$

$\Delta \vec{A} = -\frac{1}{c^2} \frac{\partial^2 \vec{A}}{\partial t^2}$

$\Delta \vec{A} = -\frac{1}{c^2} \frac{\partial^2 \vec{A}}{\partial t^2}$

$\Delta \vec{A} = -\frac{1}{c^2} \frac{\partial^2 \vec{A}}{\partial t^2}$

$\Delta \vec{A} = -\frac{1}{c^2} \frac{\partial^2 \vec{A}}{\partial t^2}$

$\Delta \vec{A} = -\frac{1}{c^2} \frac{\partial^2 \vec{A}}{\partial t^2}$

$\Delta \vec{A} = -\frac{1}{c^2} \frac{\partial^2 \vec{A}}{\partial t^2}$

$\Delta \vec{A} = -\frac{1}{c^2} \frac{\partial^2 \vec{A}}{\partial t^2}$

$\Delta \vec{A} = -\frac{1}{c^2} \frac{\partial^2 \vec{A}}{\partial t^2}$

$\Delta \vec{A} = -\frac{1}{c^2} \frac{\partial^2 \vec{A}}{\partial t^2}$

$\Delta \vec{A} = -\frac{1}{c^2} \frac{\partial^2 \vec{A}}{\partial t^2}$

$\Delta \vec{A} = -\frac{1}{c^2} \frac{\partial^2 \vec{A}}{\partial t^2}$

$\Delta \vec{A} = -\frac{1}{c^2} \frac{\partial^2 \vec{A}}{\partial t^2}$

$\Delta \vec{A} = -\frac{1}{c^2} \frac{\partial^2 \vec{A}}{\partial t^2}$

$\Delta \vec{A} = -\frac{1}{c^2} \frac{\partial^2 \vec{A}}{\partial t^2}$

$\Delta \vec{A} = -\frac{1}{c^2} \frac{\partial^2 \vec{A}}{\partial t^2}$

$\Delta \vec{A} = -\frac{1}{c^2} \frac{\partial^2 \vec{A}}{\partial t^2}$

$\Delta \vec{A} = -\frac{1}{c^2} \frac{\partial^2 \vec{A}}{\partial t^2}$

$\Delta \vec{A} = -\frac{1}{c^2} \frac{\partial^2 \vec{A}}{\partial t^2}$

БИЛЕТ 23

1. Работа электростатического поля при перемещении зарядов. Потенциал электростатического поля. Связь напряженности и потенциала. Уравнение Пуассона.

1. Работа электростатического поля при перемещении зарядов. Потенциал электростатического поля. Связь напряженности и потенциала. Уравнение Пуассона.

Потенциал φ - энергия зр. на ед. зр. в данной точке поля.

$\varphi = \frac{W}{q}$

$\varphi = \frac{W}{q} = \frac{q \cdot \varphi}{q} = \varphi$

$\varphi = \frac{W}{q} = \frac{q \cdot \varphi}{q} = \varphi$

$\varphi = \frac{W}{q} = \frac{q \cdot \varphi}{q} = \varphi$

$\varphi = \frac{W}{q} = \frac{q \cdot \varphi}{q} = \varphi$

$\varphi = \frac{W}{q} = \frac{q \cdot \varphi}{q} = \varphi$

$\varphi = \frac{W}{q} = \frac{q \cdot \varphi}{q} = \varphi$

$\varphi = \frac{W}{q} = \frac{q \cdot \varphi}{q} = \varphi$

$\varphi = \frac{W}{q} = \frac{q \cdot \varphi}{q} = \varphi$

$\varphi = \frac{W}{q} = \frac{q \cdot \varphi}{q} = \varphi$

$\varphi = \frac{W}{q} = \frac{q \cdot \varphi}{q} = \varphi$

$\varphi = \frac{W}{q} = \frac{q \cdot \varphi}{q} = \varphi$

$\varphi = \frac{W}{q} = \frac{q \cdot \varphi}{q} = \varphi$

$\varphi = \frac{W}{q} = \frac{q \cdot \varphi}{q} = \varphi$

$\varphi = \frac{W}{q} = \frac{q \cdot \varphi}{q} = \varphi$

$\varphi = \frac{W}{q} = \frac{q \cdot \varphi}{q} = \varphi$

$\varphi = \frac{W}{q} = \frac{q \cdot \varphi}{q} = \varphi$

$\varphi = \frac{W}{q} = \frac{q \cdot \varphi}{q} = \varphi$

$\varphi = \frac{W}{q} = \frac{q \cdot \varphi}{q} = \varphi$

$\varphi = \frac{W}{q} = \frac{q \cdot \varphi}{q} = \varphi$

$\varphi = \frac{W}{q} = \frac{q \cdot \varphi}{q} = \varphi$

$\varphi = \frac{W}{q} = \frac{q \cdot \varphi}{q} = \varphi$

$\varphi = \frac{W}{q} = \frac{q \cdot \varphi}{q} = \varphi$

$\varphi = \frac{W}{q} = \frac{q \cdot \varphi}{q} = \varphi$

$\varphi = \frac{W}{q} = \frac{q \cdot \varphi}{q} = \varphi$

$\varphi = \frac{W}{q} = \frac{q \cdot \varphi}{q} = \varphi$

$\varphi = \frac{W}{q} = \frac{q \cdot \varphi}{q} = \varphi$

$\varphi = \frac{W}{q} = \frac{q \cdot \varphi}{q} = \varphi$

$\varphi = \frac{W}{q} = \frac{q \cdot \varphi}{q} = \varphi$

$\varphi = \frac{W}{q} = \frac{q \cdot \varphi}{q} = \varphi$

$\varphi = \frac{W}{q} = \frac{q \cdot \varphi}{q} = \varphi$

$\varphi = \frac{W}{q} = \frac{q \cdot \varphi}{q} = \varphi$

$\varphi = \frac{W}{q} = \frac{q \cdot \varphi}{q} = \varphi$

$\varphi = \frac{W}{q} = \frac{q \cdot \varphi}{q} = \varphi$

$\varphi = \frac{W}{q} = \frac{q \cdot \varphi}{q} = \varphi$

$\varphi = \frac{W}{q} = \frac{q \cdot \varphi}{q} = \varphi$

$\varphi = \frac{W}{q} = \frac{q \cdot \varphi}{q} = \varphi$

$\varphi = \frac{W}{q} = \frac{q \cdot \varphi}{q} = \varphi$

$\varphi = \frac{W}{q} = \frac{q \cdot \varphi}{q} = \varphi$

$\varphi = \frac{W}{q} = \frac{q \cdot \varphi}{q} = \varphi$

БЮДЖЕТ 24

1) Электростатическое поле в диэлектрике. Электрический диполь в электростатическом поле. Поляризуемость. Свободные и связанные заряды. Вектор электрического смещения. При попадании диэлектрика в электрическое поле (создается заряженными плоскостями с

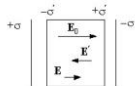


Рис. 2.5

его поляризации. При этом на его гранях появляются связанные заряды σ' . Поверхностная плотность связанных зарядов меньше, чем плотность свободных. Результирующее поле внутри диэлектрика: $E = E_0 - E' = (\epsilon - \epsilon') E_0$

На помещенный в электрическое поле диполь действуют две силы, равные по модулю и противоположные по направлению ($F = qE$). Так как они приложены к разным концам диполя, который схематично представляет собой два разноименных заряда q , соединенных на расстоянии l друг с другом, создается вращательный момент: $M = 2qE \frac{l}{2} \sin \alpha = qE l \sin \alpha = p E \sin \alpha$, где p — дипольный момент.

Чтобы провести количественное описание поляризации диэлектрика вводят векторную величину — **поляризованность**, которая определяется как дипольный момент единицы объема диэлектрика:

$$P = \frac{p}{V} = \frac{\sum p_i}{V}$$

Для описания электрического поля, в частности, в диэлектрике, вводят в рассмотрение вектор электрического смещения (вектор электростатической индукции) $\vec{D} = \epsilon_0 \epsilon \vec{E}$. В проводниках (например, в металлах) существуют свободные заряды, которые можно разделить. В диэлектриках заряды смещаются лишь в пределах отдельных молекул, поэтому их разделить нельзя.

Это связанные заряды.

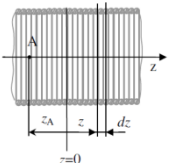
2) Теорема о циркуляции вектора индукции магнитного поля в интегральной и дифференциальной формах. Расчет магнитного поля тороида и соленоида. Циркуляция вектора индукции магн. поля по любому ориентированному замкнутому контуру пропорциональна сумме токов, пронизывающих ориентированную площадку, огранич. контуром. Ориентация контура и площадки согласованы правилом правого винта. Коэф-т пропорциональности — магнитная постоянная.

$$\oint \vec{B} \cdot d\vec{l} = \mu_0 \sum I_k$$

Теорема о циркуляции:

Циркуляция вектора индукции магнитного поля по любому ориентированному замкнутому контуру пропорциональна алгебраической сумме токов, пронизывающих ориентированную площадку, ограниченную контуром. Ориентация контура и площадки согласованы правилом правого винта.

Коэф-т пропорциональности — магнитная постоянная.



$$\oint \vec{B} \cdot d\vec{l} = \mu_0 \sum I_k$$

Теорема о циркуляции в интегральном виде: $\oint \vec{B} \cdot d\vec{l} =$

$$\oint_V (\text{rot } \vec{B}) \cdot d\vec{S} = \mu_0 \oint_V (\vec{j} \cdot d\vec{S})$$

В дифференциальной форме: $\text{rot}(\vec{B}) = \mu_0 \vec{j}$

Расчет для соленоида: Введем вдоль оси соленоида ось z . Выделим в соленоиде сеч. координату z , примем за $0(z=0)$. Пусть точка A имеет координату z_0 . Небольшая часть соленоида, длина кот. dz , и кот. находится в сеч. с координатой z , содержит $dN = n dz$ витков. Эта часть создает в точке A индукцию магн. поля, вел. кот.: $dB = \frac{\mu_0}{2} \frac{I dz}{(R^2 + z^2)^{3/2}}$

$$B_0 = \int_{-\infty}^{+\infty} \frac{\mu_0}{2} \frac{I n dz}{(R^2 + z^2)^{3/2}} = \frac{\mu_0 I n}{2} \int_{-\infty}^{+\infty} \frac{dz}{(R^2 + z^2)^{3/2}}$$

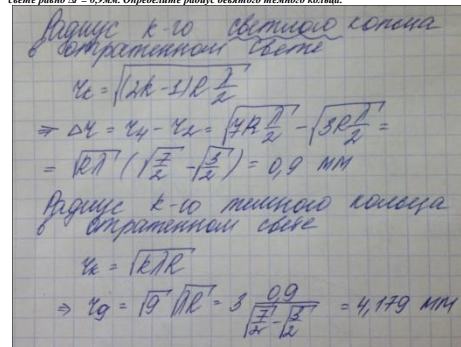
Делаем замену $y = z/R$ и получаем $\int_{-\infty}^{+\infty} \frac{dy}{(R^2 + z^2)^{3/2}} = \int_{-\infty}^{+\infty} \frac{dy}{(R^2 + R^2 y^2)^{3/2}} = \frac{1}{R^2} \int_{-\infty}^{+\infty} \frac{dy}{(1 + y^2)^{3/2}} = \frac{2}{R^2}$

$$B_0 = \frac{\mu_0 I n}{2} \cdot \frac{2}{R^2}$$

Расчет для тороида: пусть число витков в тороиде N , а сила тока I . Рассмотрим циркуляцию вектора индукции вдоль контура Γ радиуса r ($R_1 < r < R_2$), совпав. с одной из силовых линий: Вдоль Γ величина B постоянна.

Откуда внутри тороида $B = \frac{\mu_0 N I}{2\pi r}$. Предположим, что диаметр сеч. тороидальной части много меньше внутреннего радиуса. Если ввести плотность намотки на внутреннем радиусе $n = \frac{N}{2\pi R_1}$, то $B = \frac{\mu_0 N I}{2\pi r} = \frac{\mu_0 N I}{2\pi R_1} \left(\frac{R_1}{r} \right) = \mu_0 n I \left(1 + \frac{r}{R_1} \right)$, но т.к. $x \ll R_1 < r < R_2 = \mu_0 n I$

3) Расстояние между вторым и четвертым соседними кольцами Ньютона в отраженном свете равно $\Delta r = 0,9 \text{ мм}$. Определите радиус десятого темного кольца.



4) Определить потенциал электрического поля в центре кольца с внутренним радиусом $R_1 = 20,9 \text{ см}$ и внешним радиусом $R_2 = 40 \text{ см}$, если на нем равномерно распределен заряд $Q = 0,6 \text{ мкКл}$.

